



Research Article  
Vol. 21, No. 2, May.-Jun., 2025, p. 179-198

## Improving the Physico-mechanical Properties of Extruded Rice Based on Mixed Rice-quinoa Flours Using Pickering Emulsion-filled Gel Containing Beta-carotene

M. Davtalab<sup>1</sup>, S. Naji-Tabasi<sup>1\*</sup>, M. Shahidi-Noghabi<sup>2</sup>

1- Department of Food Nanotechnology, Research Institute of Food Science and Technology (RIFST), Mashhad, Iran  
(\*- Corresponding Author Email: [s.najitabasi@rifst.ac.ir](mailto:s.najitabasi@rifst.ac.ir))

2- Department of Green Technologies in Food Production and Processing, Research Institute of Food Science and Technology (RIFST), Mashhad, Iran

Received: 31.08.2024

Revised: 12.12.2024

Accepted: 25.12.2024

Available Online: 23.04.2025

### How to cite this article:

Davtalab, M., Naji-Tabasi, S., & Shahidi-Noghabi, M. (2025). Improving the physico-mechanical properties of extruded rice based on mixed rice-quinoa flours using Pickering emulsion-filled gel containing beta-carotene. *Iranian Food Science and Technology Research Journal*, 21(2), 179-198. (In Persian with English abstract).  
<https://doi.org/10.22067/ifstrj.2024.89650.1361>

### Introduction

Rice is a strategic product and considered as staple food of over half of the world's population particularly in Iran. Considering the high levels of rice waste, including broken grains or those of lower quality, it can be utilized for producing value-added foods and reducing waste. Extrusion is a process widely used to improve food products and develop fortified foods. Quinoa flour is rich in phenols, and can be utilized to produce fortified extruded rice. The extrusion of gluten free flours like rice and quinoa has different challenges. In this study, sodium alginate was used to prepare emulsion filled gel to enhance the stability of Pickering emulsions containing β-carotene and also structuring rice during extrusion process. Pickering emulsion is one of the encapsulation methods suitable for encapsulating lipophilic compounds like β-carotene. Emulsion-filled gels, developed using hydrocolloid mixtures, significantly enhance emulsion stability and make them suitable for aqueous food environments. Finally, extruded rice based on a mixture of rice- quinoa flours and fortified with beta-carotene was prepared, and its physico-mechanical properties were evaluated.

### Materials and Methods

Pickering emulsions were stabilized using whey protein- cress gum soluble complex nanoparticles. Beta-carotene was dissolved in the oil phase at a concentration of 0.1%. Subsequently, 4% (w/v) sodium alginate was used to develop emulsions filled-gel.

The Pickering emulsion was dispersed in the sodium alginate gel at a ratio of 15:85. Extruded rice was then prepared using an equal ratio (50:50) of broken rice flour and quinoa flour via a cold extruder. To evaluate the impact of the gel-filled emulsion on improving the characteristics of rice grains, different concentrations (30%, 35%, and 40% w/w) of the gel-filled emulsion (based on flour weight) were added to the mixture. The physico-mechanical tests (moisture content, ash content, optimum cooking time, water absorption ratio, cooking loss, lateral expansion, textural characteristics of rice, color properties, sensory analysis, structural morphology, Beta-carotene stability) were conducted. Duncan test was utilized to identify statistically significant differences ( $p<0.05$ ) among the means, while one-way analysis of variance (ANOVA) was employed to investigate the impact of various factors.

### Results and Discussion

The incorporation of emulsions filled-gel into quinoa-rice blend significantly influenced the physico-



©2025 The author(s). This is an open access article distributed under Creative Commons Attribution 4.0 International License (CC BY 4.0).

<https://doi.org/10.22067/ifstrj.2024.89650.1361>

mechanical properties of extruded rice. As the concentration of emulsions filled-gel increased from 30% to 40% (w/w), there was a significant increase in moisture content, ash content, expansion ratio, and cooking time. Extruded rice samples with emulsion-filled gel exhibited significantly greater  $\beta$ -carotene stability than those without, both after cooking and during storage. Conversely, adhesiveness decreased while hardness increased with increasing emulsion filled-gel concentrations. The control sample exhibiting the highest adhesiveness and lowest hardness. The lightness of the extrudates was also improved with increasing emulsion filled-gel levels, reaching a maximum at 40% (w/w). Sensory evaluation revealed that the 40% emulsion filled-gel level was the most preferred sample by panelists. The optimized extruded rice closely resembled natural Hashemi rice in terms of sensory and textural properties.

## Conclusion

The findings of this study demonstrate that the addition of emulsions filled-gel enriched with beta-carotene can effectively enhance the physico-mechanical properties of extruded quinoa-rice blends. Specifically, increasing the emulsion concentration resulted in improving expansion, textural, and appearance properties of the rice. 40% emulsion filled-gel was found to be optimal, resulting in a product with desirable sensory attributes. This research proposes that extruded rice based on mixed rice-quinoa flours enriched with beta-carotene-loaded emulsion-filled gel can provide a nutritious and appealing alternative to broken rice products, leveraging the nutritional benefits of quinoa. Sensory and textural evaluation revealed that the extruded rice exhibited sensory properties highly similar to natural Hashemi rice, coupled with favorable cooking characteristics. Consequently, it can be introduced as a suitable substitute for natural rice.

**Keywords:**  $\beta$ -carotene, Cress seed gum, Pickering, Quinoa, Whey protein

## مقاله پژوهشی

جلد ۲۱، شماره ۲، خرداد-تیر ۱۴۰۴، ص. ۱۹۸-۱۷۹

# بهبود خصوصیات فیزیکومکانیکی برنج اکسترود شده مخلوط آرد کینوا-برنج با استفاده از ژل پرشده-امولسیون پیکرینگ حاوی بتاکاروتن

مریم داوطلب<sup>۱</sup>-سارا ناجی طبسی<sup>۱\*</sup>-مصطفی شهیدی نوقابی<sup>۲</sup>

تاریخ دریافت: ۱۴۰۳/۰۶/۱۰

تاریخ پذیرش: ۱۴۰۳/۱۰/۰۵

## چکیده

این تحقیق به بررسی اثر بهبودهندگی ژل پرشده امولسیونی حاوی بتاکاروتن بر پارامترهای کیفی برنج اکسترود شده مخلوط آرد کینوا-برنج پرداخته است. برنج اکسترود شده حاوی سطحهای مختلف ژل پرشده امولسیونی (۳۰، ۳۵ و ۴۰ درصد وزنی/وزنی) تهیه شد و با نمونه برنج اکسترود شده بدون حضور ژل پرشده امولسیونی (نمونه کنترلی) مورد مقایسه قرار گرفت. ژل پرشده امولسیونی با استفاده از بستر ژل آثربنات سدیم (غلظت ۴ درصد وزنی-وزنی) و امولسیون پیکرینگ (۱۵ درصد حجمی/حجمی حامل بتاکاروتن با غلظت ۱/۰ درصد) تهیه گردید. با افزایش غلظت ژل پرشده امولسیونی از ۳۰ به ۴۰ درصد وزنی-وزنی، افزایش در میزان رطوبت، خاکستر، افزایش قد و زمان پخت دانه‌های برنج اکسترود شده مشاهده شد. در مقابل کاهش چسبندگی و افزایش سختی با افزودن غلظت ژل پرشده امولسیونی همراه بود. نمونه کنترل بیشترین چسبندگی و کمترین سختی را نشان داد. شفافیت دانه‌های برنج اکسترود شده نیز با افزایش سطح ژل پرشده امولسیونی بهبود یافت و در سطح ۴۰ درصد به حداقل رسید. ارزیابی حسی نشان داد که نمونه با سطح ۴۰ درصد وزنی-وزنی ژل پرشده امولسیونی بیشترین امتیاز را از نظر پذیرش کلی و سایر پارامترهای حسی داراست. مقایسه خواص حسی و بافتی نمونه بهینه برنج اکسترود شده مخلوط آرد کینوا-برنج با برنج طبیعی واریته هاشمی، خواص حسی نزدیک به نمونه طبیعی و ویژگی‌های پخت مناسب را نشان داد و در نتیجه می‌توان آن را به عنوان جایگزینی مناسب برای برنج طبیعی معرفی کرد.

**واژه‌های کلیدی:** بتاکاروتن، پیکرینگ، پروتئین آب پنیر، صبح دانه شاهی، کینوا

## مقدمه

فرآیند اکستروژن روشی است که امروزه کاربرد زیادی در بهبود ارزش غذایی محصولات غذایی و یا توسعه غذاهای غنی شده دارد. کمک به تولید محصولات متنوع با خواص بافتی ویژه مانند انسپاسط، تردی و احساس دهانی از دیگر کاربردهای فرآیند اکستروژن هست. این روش با استفاده از نیروهای مکانیکی، فشار و دما سبب تغییر در ساختار مولکولی نشاسته و پروتئین می‌شود زیرا در فرآیند اکستروژن، نشاسته موجود در مواد اولیه ژلاتینه شده و پروتئین‌ها دناتوره می‌شوند که در نهایت سبب ایجاد تغییرات فیزیکی و شیمیایی در مواد اولیه شده

برنج یک محصول استراتژیک در کشور و از اصلی‌ترین زنجیره‌های غذایی است. برنج آسیاب نشده یک منبع غنی از مواد مغذی ماکرو و میکرو است که طی آسیاب برنج، چربی و لایه‌های سبوس غنی از ریزمندی‌ها حذف می‌شوند و برنج سفید غنی از نشاسته تولید می‌شود. از این‌رو توجه به برنج به عنوان ماده غذایی هدف برای **Waterhouse & Sun-Waterhouse,** غنی‌سازی حائز اهمیت است

۱- گروه نانوفناوری مواد غذایی، مؤسسه پژوهشی علوم و صنایع غذایی، مشهد، ایران  
۲- نویسنده مسئول: (Email: [s.najitabasi@rifst.ac.ir](mailto:s.najitabasi@rifst.ac.ir))

۳- گروه فناوری‌های سبز مواد غذایی، مؤسسه پژوهشی علوم و صنایع غذایی، مشهد، ایران

ژل پرشده امولسیونی<sup>۳</sup> نامیده می‌شوند، قطرات امولسیون در بستر هیدروژلی پراکنده می‌شوند اما در دسته دوم، قطرات امولسیون در کنار هم تجمع بافته و به صورت قطرات چربی بزرگتری در بستری هیدروژلی جای خواهند گرفت که ژل پرشده امولسیونی ذرهای<sup>۴</sup> نامیده می‌شوند (Farjami & Madadlou, 2019). در این نوع از ژلهای پر شده امولسیونی، بدلیل پراکندگی قطرات امولسیون در بستر پلیمری، مقداری کمتری از ترکیب روغنی جهت ایجاد طعم و یا ویژگی‌های عملکردی مورد نیاز است که از این ویژگی جهت تولید غذاهای کم کالری و رژیمی می‌توان استفاده کرد (Shekarchizadeh, & Nourbehesht, 2018). کارتنوئیدها رنگدانه‌های طبیعی هستند که در میوه و سبزیجات یافت می‌شوند. مطالعات نشان داده است مصرف منظم بتاکاروتون در مواد غذایی ممکن است خطر ابتلا به بیماری‌هایی مانند آب مروارید، بیماری‌های قلبی عروقی و برخی از انواع سرطان‌ها را کاهش دهد. بتاکاروتون مهمترین پیش‌ساز ویتامین A می‌باشد و همچنین به عنوان یک ترکیب آنتی‌اکسیدانی جهت کاهش رادیکال‌های آزاد می‌تواند عمل کند (Radu, Litescu, Albu, Teodor, & Truica, 2012). اما حلالیت کم بتاکاروتون در آب، کاربرد و قابلیت دسترسی زیستی آن را محدود می‌کند. همچنین مولکول‌های کاروتون بخش، گرمایش، یون‌ها و اکسیژن هستند (Rostamabadi, Falsafi, & Jafari, 2019). نانوذرات هیدروژلی کمپلکس پروتئین-کربوهیدرات به عنوان پایدارکننده در امولسیون‌های پیکرینگ موفق‌تر هستند و با قابلیت شکل‌پذیری و ویسکوزیته سطحی رفتار پایدارکننگی را افزایش می‌دهند (Semenova, 2017).

دانه شاهی<sup>۵</sup> حاوی مقادیر زیادی موسیلاژ است. وجود قند مانوز فراوان در این هیدروکلورید، بیوندهایی بین زنجیره‌ای بیشتری را در این پلیمر ایجاد کرده و به آن خاصیت ژل دهنگی می‌بخشد (Naji, Razavi, & Karazhiyan, 2012). پروتئین آب پنیر بهدلیل دو خاصیت ژل دهنگی و امولسیفایبری، برای تولید سامانه ژل امولسیونی به طور گستره مورد استفاده قرار گرفته است. پروتئین آب پنیر قابلیت تشکیل ژل به روش‌های مختلف سرد و گرم را داراست که تشکیل ژل به روش سرد برای درون پوشانی ترکیبات حساس به حرارت مناسب‌تر است (Iqbal, Chen, Kirk, & Huang, 2020).

از این‌رو در این پژوهش برای تولید برنج غنی‌سازی شده از ساختار ژل پرشده-امولسیون پیکرینگ حاوی بتاکاروتون استفاده شد. با هدف کاهش مصرف مقادیر زیاد امولسیفایبرهایی که اثرات منفی بر سلامت

و محصول نهایی با خواص مورد نظر تولید می‌شود (Tangjaidee, Xiang, Yin, Wen, & Quek, 2019). کینوا یکی از انواع غلاتی هست که برای تولید محصولات بدون گلوتن استفاده می‌شود. کینوا سرشار از فنل است که بدلیل خاصیت آنتی‌اکسیدانی بالا، خاصیت ضد التهابی و عملکردهای بیولوژیکی خاص، برای سلامت انسان مفید است. چالش استفاده از غلات بدون گلوتن در تولید این نوع محصولات، ویژگی‌های ساختاری خاص آن‌هاست که تولید محصولات غذایی با کیفیت مورد نظر را سخت می‌کند (Godoy, 2015).

انکپسولاسیون، قابلیت حفاظت و پوشش دهنگی طیف گسترده‌ای از ترکیبات مورد نظر بوسیله تعییه آن‌ها درون بستر محافظتی را دارد. از جمله ویژگی‌های یک فرآیند انکپسولاسیون مطلوب، قابلیت پخش شدن ترکیبات چربی دوست در محیط‌های آبی، حفظ کردن ترکیبات مورد نظر از دسترس مواد واکنش دهنده نامطلوب، قابلیت دستکاری و اصلاح مواد دستیابی به انتشار هدفمند، بهبود ثبات ذخیره‌سازی مواد، پوشش دهنگی طعم یا بو می‌باشد (Rehman et al., 2019). گروه بزرگی از ترکیبات غذایی ارزشمند مانند انواع ویتامین‌ها، ترکیبات مولد عطر و طعم و ... را ترکیبات چربی دوست تشکیل می‌دهند. روش تولید امولسیون معمولاً برای انتقال ترکیبات چربی دوست کاربرد زیادی دارد زیرا تحقیقات نشان داده عملکرد مطلوب آن در پایداری شیمیایی و کنترل رهایش هدفمند قابل توجه است (Buyukkestelli & El, 2019).

امولسیون پیکرینگ<sup>۶</sup> نوعی از امولسیون هست که توسط ذرات جامد ثبیت می‌شوند و مانند سایر روش‌های تولید امولسیون نیازی به پایدارسازی با سورفاکтанت‌های مصنوعی (مانند توین) یا با منشاء حیوانی (مانند پروتئین تخم مرغ و شیر) ندارند (Wang et al., 2017).

از سوی دیگر گزارش شده در مقایسه با امولسیون‌های تثبیت شده با سورفاکتانت‌های معمول، پیکرینگ امولسیون‌ها در برابر در هم آمیختگی و پدیده تکامل استوالد<sup>۷</sup> مقاوم‌ترند (Zhu, 2019).

امولسیون پیکرینگ مانند همه انواع امولسیون‌ها، از لحظه ترمودینامیکی ناپایدارند و از سوی دیگر بهدلیل اینکه بیشتر در حالت مایع می‌باشند کاربرد آن‌ها در فرمولاسیون‌های پیچیده مواد غذایی اصولاً یک چالش است (Lim et al., 2020). استفاده از یک شیشه سه بعدی هیدروژلی که دارای اتصالات عرضی است می‌تواند قطرات امولسیون را در خود جای دهد و باعث عدم تحرک قطرات در این بستر شود. یک ژل پر شده امولسیونی قابلیت انتقال هر دو دسته از ترکیبات آبدوست و آبگریز را دارد (Taheri & Jafari, 2019). ژلهای پر شده امولسیونی به طور کلی به دو دسته تقسیم‌بندی می‌شوند، دسته اول که

4- Emulsion particulate gels

5- Gorden Cress

1- Pickering emulsion

2- Ostwald ripening

3- Emulsion-filled gels

### روش تولید امولسیون پیکرینگ

نمونه‌های امولسیون پیکرینگ توسط نانوذرات پروتئین آب پنیر- صمغ شاهی در غلظت ۱ درصد (وزنی/حجمی) به عنوان فاز پیوسته امولسیون پیکرینگ تهیه شدند. نسبت روغن ذرت ۱۵ درصد حجمی/حجمی) به محلول حاوی نانو ذرات جامد ۸۵ درصد (حجمی/حجمی) اضافه شد. سپس امولسیون‌ها با استفاده از دستگاه اولتراتوراکس (Ultraturrax digital T25، آلمان) در سرعت ۱۷۰۰۰ دور در دقیقه به مدت ۱۰ دقیقه همگن شدند. سپس تیمار امولسیون‌ها در VCX750، SONICS (Company, England) ثانویه با استفاده از دستگاه فراصوت (Davtalab et al., 2024) در دامنه ۴۵ درصد با پالس ۳ ثانیه و پالس ۳ ثانیه خاموش، به مدت ۵ دقیقه انجام شد و در حمام آب و یخ تیماردهی شد.

### روش تولید ژل پرشده امولسیونی

ژل پرشده امولسیونی بارگذاری شده با ترکیب مغذی  $\beta$  کاروتن، با استفاده از آژینات سدیم به عنوان بستر پلیمری، امولسیون پیکرینگ پایدار شده با پروتئین آب پنیر- صمغ شاهی حامل  $\beta$  کاروتن و کلرید کلسیم به عنوان عامل اتصال عرضی بین پرکننده (امولسیون پیکرینگ) و بستر ژلی تهیه شد. ابتدا پودر آژینات سدیم با غلظت ۴ درصد وزنی- حجمی در آب مقطر حل شد و پس از یک شبانه روز هیدراته شدن مورد استفاده قرار گرفت. سپس امولسیون پیکرینگ با نسبت ۱۵ درصد حجمی/حجمی طبق روش گزارش شده در پژوهش پیشین تهیه و به تدریج به آن اضافه شد. کلرید کلسیم با غلظت ۱ درصد وزنی/حجمی تهیه و برای تشکیل اتصالات عرضی به سیستم ژل پرشده امولسیونی اضافه شد (Davtalab et al., 2024).

### روش تهیه برنج

برنج اکسترود شده، با استفاده از آرد برنج شکسته و آرد کینوا با نسبت برابر (۵۰:۵۰) و به روش اکسترودر سرد تهیه شد. قطر خروجی نازل، یک میلی‌متر و مقدار رطوبت خوارک برابر با ۱۲ درصد بود. سایر مواد تشکیل‌دهنده خمیر برنج (بر اساس وزن آرد) شامل ۲ درصد کلسیم کلرید، ۰/۵ درصد سدیم کلرید، ۰/۶۵ درصد امولسیفایر، ۰/۵ درصد شکر و ۱۵ درصد نشاسته ذرت بودند که در همزن باهم مخلوط شدند. سپس با هدف ارزیابی تأثیر ژل پر شده امولسیونی بر بهبود ویژگی‌های دانه برنج، غلاظت‌های مختلف (۳۰، ۳۵ و ۴۰ درصد وزنی/وزنی) ژل پر شده امولسیونی (بر پایه وزن آرد) به مخلوط اضافه شد. همچنین نمونه کنترلی بدون حضور ژل پر شده امولسیونی نیز تهیه شد. خمیر نهایی به مدت ۱۰ دقیقه در حمام یخ داده شد و به مخزن اکسترودر منتقل و تحت فشار قرار گرفت. محسوب اکسترود شده در دمای ۴۰ درجه سانتی‌گراد تحت

انسان دارد از نانوذرات تهیه شده بر پایه کمپلکس محلول پروتئین آب پنیر- صمغ دانه شاهی جهت تهیه ذرات پیکرینگ برای پایدارسازی امولسیون حاوی ترکیبات لیپیدی ( بتاکاروتن) استفاده شد. سپس آژینات سدیم برای تهیه ژل پرشده امولسیون پیکرینگ به کار گرفته خواهد شد تا پایداری سیستم ریزپوشانی برای انتقال در برنج اکستروژن کمک افزایش یابد و همچنین به ایجاد ساختار در برنج هنگام اکستروژن کمک نماید. در نهایت برنج کامپوزیت اکسترود شده برایه مخلوط آردهای کینوا- برنج و غنی‌سازی شده با بتاکاروتن تهیه و ویژگی‌های فیزیکومکانیکی بررسی و با برنج هاشمی مورد مقایسه قرار گرفتند.

## مواد و روش‌ها

### مواد اولیه

آرد برنج هاشمی از شرکت مشعوف (رودس) تهیه شد. آرد کینوا، شکر، نمک سدیم کلرید، و منوودی گلسرید تجاری خریداری شدند. بذر شاهی (Lepidium sativum L.) از یک بازار محلی (مشهد، ایران) خریداری شد. پروتئین آب پنیر غلیظ (WPC) (محتوای پروتئین: ۸۵ درصد (db)) از شرکت هیلمار (آمریکا) تهیه شد. کلرید کلسیم (CaCl<sub>2</sub>) و سایر مواد شبیه‌ای از شرکت سیگما آلدریج (آلمان) تامین شد. روغن ذرت (Fula، Sovena)، پرتقال (براگا، پرتغال) خریداری شد.

### روش تولید ذرات جامد امولسیون پیکرینگ

در مرحله اول، محلول‌های کنسانتره پروتئین آب پنیر (۱/۷۵ وزنی/وزنی) و صمغ شاهی (۰/۳۱ درصد وزنی/وزنی) تهیه و هر دو در طول یک شبانه روز نگهداری شدند تا هیدراتاسیون در دمای ۴ درجه سانتی گراد کامل شود. محلول کنسانتره پروتئین آب پنیر در دمای ۸۰ درجه سانتی گراد به مدت ۳۰ دقیقه حرارت داده شد و بالا فاصله سرد شد. سپس محلول صمغ شاهی و محلول پروتئین آب پنیر با استفاده از همزن مغناطیسی با سرعت ۴۰۰ دور در دقیقه به مدت ۱ ساعت (۵۰:۵۰) مخلوط شدند. برای ایجاد کمپلکس محلول، pH محلول با استفاده از pH متر (Metrohm-780، Germany) در بالای نقطه ایزوالکتریک (pH=۶) تنظیم شد. سپس کلرید کلسیم (۱/۶۹ میلی‌مولا) به صورت قطره‌ای به محلول تحت شرایط هم زدن مغناطیسی (۳۰۰۰ دور در دقیقه) در دمای محیط اضافه شد. محلول بالا فاصله توسط دستگاه فراصوت (VCX750، شرکت SONICS، انگلستان) در دامنه ۸۰ درصد با پالس ۵ ثانیه روشن و پالس ۵ ثانیه خاموش، به مدت ۱۰ دقیقه در حمام یخ برای کنترل دما تیمار شد (Davtalab et al., 2024).

## جذب آب

نسبت جذب آب (WAR) بر اساس تحقیقات قبلی با سه تکرار اندازه‌گیری شد. در این روش ۲ گرم از آرد نمونه برنج اکسترود شده در حجم ۲۰ میلی‌لیتر آب مقطر در لوله‌های سانتریفیوژ ۵۰ میلی‌لیتری در مدت زمان ۱۰ دقیقه با آن مخلوط گردید. سپس با سرعت ۳۰۰۰ دور در دقیقه در بازه زمانی ۲۰ دقیقه سانتریفیوژ شد (Naji - Tabasi, (Shahidi - Noghabi, Modiri Dovom, & Davtalab, 2023b).

$$(1) \text{ نسبت جذب آب (درصد)} = \frac{(W_2 - W_1) \times 100}{W_1}$$

که در آن  $W_1$  وزن اولیه دانه‌های برنج و  $W_2$  مقدار وزن دانه بعد از پخت هست.

### میزان از دست دادن مواد جامد در آب پخت (افت پخت)

۵ گرم دانه برنج پس از پخت، با ۱۰۰ میلی‌لیتر آب مقطر سرد (۲۰ درجه سانتی‌گراد) شست و شو داده شد. آب حاصل از پخت و پز و آب بعد از شستشو در ظرفی جمع‌آوری شد و سپس در آون با دمای ۱۰۰ درجه سانتی‌گراد تا وزن ثابت خشک شد. میزان افت پخت بر اساس اختلاف وزن ماده خشک، جمع‌آوری شده در آب پخت و شست و شو با وزن اولیه دانه برنج محاسبه شد (Qadir & Wani, 2023).

### میزان افزایش قد برنج بعد از پخت

میزان افزایش قد دانه‌های برنج اکستروژن شده تحت تأثیر غلظت‌های مختلف ژل پرشده امولسیونی (۳۰، ۳۵ و ۴۰ درصد وزنی/وزنی)، با اندازه‌گیری اختلاف اندازه دانه برنج قبل و بعد از پخت و بر اساس درصد بیان گردید (Mirzaei, Movahhed, Asadollahzadeh, & Ahmadi Chenarbon, 2021).

### بررسی ویژگی‌های بافتی برنج

آزمون بافت‌سنگی دانه‌های برنج اکسترود شده توسط دستگاه بافت‌سنچ (TA-XT Plus Texture Analyser، انگلستان) اجراشد. آزمایش مکانیکی مورد استفاده آزمون برش بوده که با استفاده از پروب تیغه‌ای (BLADE، HDP/BSW) انجام گردید. سرعت پروب، ۱ میلی‌متر بر ثانیه و تعییر شکل ۵۰ درصد بود که توسط آن، پارامترهای سختی و چسبندگی برای برنج پخته و برنج خام در دمای محیط (۲۵ درجه سانتی‌گراد) اندازه‌گیری شد (Bouasla & Wójtowicz, 2021).

شرایط جریان‌ها برای مدت زمان ۶ ساعت خشک شد. پس از خشک شدن، برنج اکسترود شده بلافصله تا دمای محیط (۲۵ درجه سانتی‌گراد) خنک و بسته‌بندی شد (Naji- Tabasi, Shahidi- Noghabi, (Modiri Dovom, & Davtalab, 2023a).

## آزمون‌ها روطوبت

میزان رطوبت طبق روش استاندارد AOAC (۲۰۰۵) و با سه تکرار اندازه‌گیری شد. نمونه‌های برنج در ابتدا وزن شد و سپس در آون با دمای ۱۰۵ درجه سانتی‌گراد به مدت ۲ ساعت قرار داده شد و با فاصله زمانی توزین شد تا به وزن ثابت برسند و سپس در دسیکاتور قرار داده شد. مقدار رطوبت به صورت تفاوت بین وزن اولیه و وزن نهایی محاسبه شد.

### خاکستر

مقدار خاکستر نمونه‌های برنج اکسترود شده بر اساس روش استاندارد AOAC (۲۰۰۰) اندازه‌گیری شد (Committee, 2000). نمونه برنج اکسترود شده (۳ گرم) در بوته‌های سیلیکا ریخته شد و روی مشعل سوزانده شده است. سپس نمونه‌های ذغالی شده در کوره در دمای ۵۵ درجه سانتی‌گراد حرارت داده شدند تا زمانی که نمونه کاملاً شدن و توزین شدند. تفاوت بین وزن اولیه و وزن نهایی به عنوان درصد خاکستر گزارش شد.

### تعیین زمان پخت بهینه

زمان پخت نمونه‌های برنج اکستروژن با غلظت‌های مختلف ژل پرشده امولسیونی (۴۰، ۳۵ و ۳۰ درصد وزنی/وزنی) اندازه‌گیری شد. در این روش ۱۰۰ میلی‌لیتر آب مقطر را در یک بشر ۲۰۰ میلی‌لیتری ریخته و در حالت جوش قرار داده شد. ۵ گرم نمونه برنج در آب جوش ریخته و پخت دانه‌های برنج اکستروژن تا زمان مشاهده سفید شدن مرکز نشاسته‌ای ادامه داده شد و زمان ثبت شده به عنوان زمان پخت دانه برنج گزارش شد. در فواصل زمانی ۱ دقیقه، ۱۰ نمونه دانه برنج گرفته شد و بین شیشه کشوبی فشار داده شد تا وجود هسته سفید مشخص شود. از بین رفتن هسته سفید نشان‌دهنده رسیده بودن برنج است. سایر ویژگی‌های پخت برنج پس از تعیین زمان پخت در شرایط بهینه مورد ارزیابی قرار گرفت (Xiong et al., 2023).

در دمای ۲۵ درجه سانتی گراد در شرایط رطوبتکنترل شده در دسیکاتور انجام شد.

میزان درصد حفظ بتاکاروتون در ساختار برای نمونه برنج به روش Miazek, Beton, Śliwińska, & Brożek- (Pluska, 2022):

$$\text{٪} = \frac{C_1 - C_2}{C_1} \times 100 \quad (2)$$

که در آن  $C_1$  و  $C_2$  به ترتیب غلظت اولیه بتاکاروتون و غلظت ثانویه بتاکاروتون پس از نگهداری یا تیمار حرارتی است.

### آنالیز میکروسکوپ الکترونی روبشی (SEM)

برای بررسی ساختار میکروسکوپی، دانه‌های برنج به صورت عرضی شکسته شدن و با استفاده از نوار کربنی دوطرفه روی یک پایه دایره‌ای قرار داده شد. سپس، با استفاده از دستگاه پوشش دهنده اسپاتر، روی آن‌ها لایه‌ای نازک از طلا قرار داده شد. سپس ساختار داخلی نمونه‌ها با MIRA3، Tescan company (Zhao et al., 2024) با ولتاژ ۲ کیلو ولت مشاهده شد (Czech).

### آنالیز آماری

تمامی آزمایش‌ها سه بار تکرار شدند. آزمون دانکن برای شناسایی اختلافات آماری معنی دار ( $p < 0.05$ ) بین میانگین‌ها مورد استفاده قرار گرفت، در حالی که تحلیل واریانس یک‌طرفه (ANOVA) برای بررسی تأثیر عوامل مختلف به کار گرفته شد. ارزیابی‌های آماری با استفاده از نرم‌افزار آماری SPSS Inc., USA (version 25, SPSS Inc., USA) انجام شدند.

## نتایج و بحث

### خصوصیات فیزیکی و پخت برنج ساختاریافته رطوبت

نتایج نشان داد نمونه‌های برنج ساختاریافته حاوی ژل پرشده امولسیونی از لحاظ میزان رطوبت، تفاوت معنی داری با نمونه شاهد (نمونه برنج ساختاریافته فاقد هیدروژل) داشتند ( $P < 0.05$ ) (جدول ۱). بیشترین میزان رطوبت در نمونه‌های برنج اکستروژن شده با غلظت‌های ۳۵ درصد ژل پرشده امولسیونی (۷/۱۷ درصد) و ۴۰ درصد ژل پرشده امولسیونی (۶/۹۶ درصد) مشاهده شد که بین این دو سطح اختلاف معنادار آماری وجود نداشت (جدول ۱). همچنین کمترین سطح رطوبت (۶/۲۶ درصد) در برنج اکستروژن شده با سطح ۳۰ درصد ژل پرشده امولسیونی اندازه‌گیری شد. در نتیجه با افزایش سطح ژل پرشده امولسیونی در برنج اکستروژن شده، درصد رطوبت افزایش یافت. صمغ

### بررسی ویژگی‌های رنگی بعد از پخت

ابتدا تصاویردانه‌های برنج اکسترود شده با سه غلظت مختلف ژل پرشده امولسیونی (۳۰، ۳۵ و ۴۰ درصد وزنی/وزنی) به صورت خشک و پخته توسط اسکنر Canon، مدل LiDE220 (Image a) خواص رنگی نمونه‌ها در نرم‌افزار ImageJ (نسخه ۱.۴۸ a، آمریکا) خواص رنگی نمونه‌ها در فضای رنگی  $L^*a^*b^*$  مورد بررسی قرار گرفت. پارامترهای مورد بررسی شامل  $L^*$  (میزان روشنایی ۰-۱۰۰)،  $a^*$  (قرمزی (+۱۲۰)) تا سبزی (-۱۲۰) و  $b^*$  (زردی (+۱۲۰)) تا آبی (-۱۲۰) بود (Naji- Tabasi et al., 2023a).

### بررسی خصوصیات حسی

ارزیابی حسی نمونه‌های برنج اکسترود شده با سه غلظت مختلف ژل پرشده امولسیونی (۳۰، ۳۵ و ۴۰ درصد وزنی/وزنی) در مرحله پس از پخت در شرایط بهینه انجام شد و با نمونه کنترلی (بدون حضور ژل پرشده امولسیونی) مقایسه گردید. خصوصیات حسی مورد بررسی شامل ۲۲ نفر داور چشمی انجام شد. از داوران خواسته شد در فاصله ارزیابی حسی هر دو نمونه مقداری از نوشیدنی گرمی که در اختیار آنها قرار گرفته بود، بنوشند. سپس از آزمون مقیاس هدونیک ۵ نقطه‌ای جهت گزارش استفاده شد (Naji- Tabasi et al., 2023a; Sumardiono, Kusumayanti, Prakoso, Paundrianagari, & Cahyono, 2021).

### بررسی پایداری بتاکاروتون در برنج اکسترود شده طی دوره نگهداری و بعد از پخت

جهت بررسی میزان حفظ بتاکاروتون در ساختار برنج پس از پخت، میزان بتاکاروتون قبل و بعد از پخت اندازه‌گیری شد و میزان باقیمانده در برنج به صورت درصد محاسبه گردید. جهت اندازه‌گیری بتاکاروتون قبل از پخت، ۰/۶ گرم از نمونه‌های برنج آسیاب شده و با ۱ میلی‌لیتر اتانول ۷۰٪ و ۰/۸ میلی‌لیتر هگزان استخراج شدند. مخلوط به مدت ۲۰ دقیقه تکان داده شد و سپس با سرعت ۵۰۰۰ دور در دقیقه و دمای ۴ درجه سانتی گراد به مدت ۲۰ دقیقه سانتریفیوژ شد. سپس لایه بالایی عصاره حاوی هگزان با استفاده از میکروپیپت جمع‌آوری شد و توسط دستگاه اسپکتوفوتومتر در طول موج ۴۵۳ نانومتر جذب خوانده شد. جهت اندازه‌گیری مقدار بتاکاروتون در ساختار بعد از پخت، ۵ گرم برنج در ۱۰۰ سی سی آب در شرایط پخت بهینه حرارت داده شد و پس از آب کش کردن، برنج خشک شد. سپس استخراج بتاکاروتون از ساختار برنج با توجه به روش توضیح داده شده انجام شد. نگهداری برنج طی ۳۰ روز

اندازه‌گیری رطوبت، میزان آب آزاد موجود در ساختار قابل اندازه‌گیری خواهد (Puspitasari *et al.*, 2024). در تحقیق مشابه اثر افزودن دو ترکیب هیدروژلی صمغ گوار و عربی بر ویژگی‌های برنج اکسترود شده مورد مطالعه قرار گرفت. نتایج این تحقیق نشان داد درصد رطوبت نمونه‌های برنج اکسترود شده حاوی صمغ گوار و عربی حدود ۳۰ درصد Ranjbar, Basiri, (Elhamirad, Sharifi, & Chenarbon, 2018).

آژینات سدیم بهدلیل تعداد گروه‌های هیدروکسیل بیشتر تمایل زیادی برای ایجاد پیوند با مولکول‌های آب دارد (Yan *et al.*, 2023). هنگامی که به نشاسته هیدراته اضافه می‌شود، فعل و انفعالات الکترواستاتیک بین اتم‌های الکترونگاتیوی بالا (اتم‌های O) در مولکول‌های نشاسته هیدراته و گروه‌های هیدروکسیل صمغ آژینات سبب ایجاد پیوندهای هیدروژنی قوی می‌شود. این پیوندها در مقایسه با مولکول‌های آب بدون حضور هیدروژل، توانایی بیشتری برای اتصال با مولکول‌های آب دارند و در نهایت سطح رطوبت را افزایش می‌دهند. با توجه به روش

جدول ۱- اثر غلظت ژل پر شده امولسیونی بر خصوصیات فیزیکومکانیکی برنج کامپوزیت اکسترود شده آرد کینوا-برنج

Table 1- The effect of the emulsion-filled gel concentration on the physico-mechanical properties of extruded rice-quinoa mixed rice

ژل پر شده امولسیونی Emulsion-filled gel (%)	رطوبت Moisture (%)	خاکستر Ash (%)	زمان پخت Optimum preparation time (min)	جذب آب Water absorption (%)	افت پخت Cooking loss (%)	افزایش قد Lateral expansion (%)
Control	2.6 ± 0.02 <sup>c</sup>	1.9±0.01 <sup>c</sup>	6.5±0.02 <sup>c</sup>	233±0.12 <sup>b</sup>	12.48±0.03 <sup>a</sup>	70±0.15 <sup>a</sup>
30 %	6.62±0.07 <sup>b</sup>	2.77±0.02 <sup>b</sup>	5.5±0.01 <sup>c</sup>	245±0.12 <sup>b</sup>	12.25±0.03 <sup>a</sup>	68.57±0.23 <sup>b</sup>
35 %	7.17±0.13 <sup>a</sup>	2.88±0.12 <sup>b</sup>	7.24±0.02 <sup>b</sup>	271±0.31 <sup>a</sup>	11.95±0.06 <sup>a</sup>	80.48±0.03 <sup>a</sup>
40 %	6.96±0.04 <sup>a</sup>	3.67±0.03 <sup>a</sup>	9.66±0.03 <sup>a</sup>	300±0.23 <sup>a</sup>	7.55±0.02 <sup>b</sup>	86.26±0.17 <sup>a</sup>

میانگین داده‌ها ± انحراف معیار هستند.

\* حروف نامشابه در هر ستون (a,b,c)، نشان‌دهنده اختلاف معنی‌دار بین تیمارها در سطح ( $P < 0.05$ ) می‌باشد.

Different superscripts in each column represent a significant difference at  $P < 0.05$ . Data are means ± standard deviation.

گرانولی و ایجاد بافت نرم محاسبه شد (جدول ۱). طبق نتایج در نمونه‌های برنج اکستروژن، بین سطوح مختلف ژل پر شده امولسیونی، اختلاف معنادار آماری وجود داشت ( $P < 0.05$ ) و بیشترین زمان جهت پخت، ۹/۶۶ دقیقه بود که مربوط به نمونه برنج اکستروژن با سطح ۴۰ درصد وزنی/وزنی ژل پر شده امولسیونی بود. زمان پخت ارتباط مستقیمی با میزان سختی بافت آن دارد، زیرا هرچقدر بافت متراکم‌تر باشد میزان نفوذ آب به داخل ساختار با سرعت کمتری انجام خواهد شد. گزارش شده وجود لایه‌های متراکم در ساختار بافت دانه‌های برنج سبب افزایش زمان پخت خواهد شد. زیرا مانع از نفوذ آب و انتقال گرما در هنگام پخت به مرکز دانه و با تأخیر در ژلاتیناسیون، زمان پخت را افزایش خواهد داد (Hooper, Bassett, Wiesinger, Glahn, & Cichy, 2023). برای مثال وجود آنزیم سلولاز و زایلاناز در نمونه‌های برنج با هیدرولیز پلی‌ساقاریدهای بافت مانند سلوولز، سرعت جذب آب و سرعت انبساط دانه در هنگام پخت را افزایش و در نتیجه زمان پخت را کاهش داده‌اند. در مقابل استفاده از پلی‌ساقاریدی محلول سویا در تیمار برنج اکستروژن، با ایجاد لایه مقاوم بر روی سطح بافت، ژلاتیناسیون را به تأخیر و زمان پخت را افزایش داد (Xiong *et al.*, 2023). افزایش غلظت برخی صمغ‌ها بهدلیل ایجاد پیوند با نشاسته

### خاکستر

نتایج نشان داد با افزایش غلظت ژل پر شده امولسیونی، میزان خاکستر نمونه‌های برنج اکستروژن شده افزایش یافت (جدول ۱). بیشترین مقدار خاکستر (۳/۶۷ درصد) در نمونه‌های برنج اکستروژن با سطح ۴۰ درصد وزنی/وزنی ژل پر شده امولسیونی و مقادیر خاکستر ۲/۷۷ و ۳/۵ درصد ژل پر شده امولسیونی بود. کمترین میزان خاکستر نیز در نمونه کنترلی مشاهد شد. Saadat, Movahhed, & Ahmadi (Chenarbon, 2019) گزارش کردند افزایش محتوای خاکستر نمونه‌های برنج اکستروژن با افزایش صمغ گوار و عربی افزایش یافت (Saadat, Movahhed, & Ahmadi Chenarbon, 2019). بدین‌گاه افزایش خاکستر در نتیجه افزایش ا مواد معدنی ایجاد می‌شود که نشان‌دهنده ارزش غذایی محصول است. در نتیجه می‌توان گفت افزایش غلظت صمغ، سبب افزایش مواد معدنی و بهبود ویژگی‌های تغذیه‌ای آن شده است (Putri *et al.*, 2022).

### زمان پخت

زمان پخت نمونه‌های مختلف برنج اکستروژن، براساس مدت زمان مورد نیاز برای نفوذ آب به داخل ساختار، ناپدید شدن مرکز شفاف

### افت پخت

نتایج نشان داد کمترین درصد افت پخت در نمونه برنج اکستروژن شده با سطح  $40^{\circ}$  درصد (وزنی/وزنی) ژل پرشده امولسیونی (۷/۵۵ درصد) بود ([جدول ۱](#)) و با نمونه کنترلی (۱۲/۴۸) اختلاف معنادار آماری داشت ( $p < 0.05$ ). به طور کلی جذب رطوبت بالا توسط نشاسته برنج سبب ژلاتیناسیون بیشتر و انتشار بیشتر مواد جامد در محیط پخت خواهد شد.

گزارش کردند کاساووا بهدلیل این ظرفیت جذب آب بالا، مقدار مولکول‌های آب بیشتری را در طول فرآیند اکستروژن وارد بافت برنج اکستروژ شده کرد که در طی فرآیند خشک کردن، سبب ایجاد منافذ بیشتری نیز شد که در نهایت افزایش خروج مواد بیشتری از بافت نیز اتفاق افتاد. ([Xia, Lin, Wang, Liu, & Liu, 2024](#)). در نتیجه می‌توان با توجه به نتایج آزمون رطوبت‌سنجدی، مقادیر بالاتر افت پخت نمونه‌های برنج حاوی  $40^{\circ}$  و  $35^{\circ}$  درصد وزنی/وزنی را به جذب آب بیشتر آن‌ها نسبت داد. از سوی دیگر گزارش شده است، صمغ کربوکسی متیل سلوزل سبب کاهش افت پخت تا حدود  $10^{\circ}$  درصد و در مقابل صمغ زاتتان سبب افزایش افت پخت تا حدود  $31/1^{\circ}$  درصد شد. آن‌ها تأثیر افودن صمغ‌ها بر کاهش و یا افزایش افت پخت را به زنجیره‌های منشعب پلیمری آن‌ها نسبت دادند که با افزایش جذب آب، سبب رتروگراداسیون بیشتر و افت پخت بیشتر خواهد شد. آنها همچنین گزارش کردند آژینات-کلسیم به عنوان یک پلیمر مناسب با ایجاد پیوند با نشاسته میزان افت پخت را نسبت به سایر انواع صمغ‌ها کاهش داد ([Kraithong, Theppawong, Lee, & Huang, 2023](#)). در نتیجه در این تحقیق غلظت بهینه ژل پرشده امولسیونی که دارای بستر پلیمری آژینات‌سیدیم است نقش مهمی در کاهش افت پخت در برنج اکستروژن شده داشت.

### ویژگی‌های رنگی

ویژگی‌های رنگی دانه برنج بر اساس مقادیر شاخص‌های  $a^*$ ,  $L^*$  و  $b^*$  محاسبه شد. همانطور که نتایج نشان می‌دهد ([جدول ۲](#))، تمام نمونه‌های برنج اکستروژ شده شامل غلظت‌های مختلف ژل پرشده امولسیونی ( $30^{\circ}$  و  $40^{\circ}$  درصد وزنی/وزنی) شفافیت بالایی داشته و اختلاف معنادار آماری در بین سطوح مختلف قبل و بعد از پخت آنها مشاهده نشد ( $p > 0.05$ ) اما در مقایسه با نمونه کنترلی (بدون حضور ژل پرشده امولسیونی) اختلاف معنادار آماری داشت ( $p < 0.05$ ). همچنین نتایج نشان داد که مقادیر شاخص  $b^*$  و  $a^*$  در بین نمونه‌های برنج اکستروژ شده، نمونه با کمترین غلظت ژل پر شده امولسیونی ( $30^{\circ}$  درصد وزنی-وزنی) با نمونه کنترلی در مرحله قبل از پخت اختلاف

ساختر ژلی متراکم‌تری ایجاد خواهد کرد و سبب افزایش زمان پخت خواهد شد. در مقابل افزودن برخی از ترکیبات پلی‌ساقاریدی مانند کربوکسی متیل سلوزل بدليل کمک به نفوذ سریعتر آب و حرارت به مرکز هسته دانه برنج، ساختار شفاف گرانولی با سرعت بیشتری از بین خواهد رفت و بافت نرمتری را ایجاد خواهد کرد ([Sun et al., 2023](#)). در تحقیق مشابه گزارش شده که با افزودن صمغ زاتتان میزان زمان پخت کاهش پیدا می‌کند، اما صمغ کربوکسی متیل سلوزل بر زمان پخت تأثیر معنی دار ندارد ([Kraithong & Rawdkuen, 2020](#)). همانطور که نتایج بافت سنجی نشان داد، بیشترین سختی در برنج اکستروژن با سطح  $40^{\circ}$  درصد وزنی/وزنی ژل پرشده امولسیونی بود که در نتیجه افزایش ایجاد پیوند نشاسته با بستر آژینات‌سیدیم اتفاق افتاد. در نتیجه افزایش زمان پخت با افزایش غلظت ژل پرشده امولسیونی را تأیید شد.

### جذب آب

همانطور که نتایج حاصل از آزمون جذب آب نمونه‌های برنج اکستروژ شده ([جدول ۱](#)) نشان می‌دهد، بیشترین مقدار نسبت جذب آب در تیمارهای حاوی  $40^{\circ}$  درصد ژل پرشده امولسیونی ( $300^{\circ}$  درصد) مشاهده گردید در حالی که کمترین مقدار مربوط به تیمار با سطح  $30^{\circ}$  درصد ژل پرشده امولسیونی ( $271^{\circ}$  درصد) بود که با تیمار شاهد تفاوت معنادار آماری نداشت ( $p > 0.05$ ). در نتیجه حضور صمغ‌های آژینات‌سیدیم میزان جذب آب را در نمونه‌های اکستروژ شده در مقایسه با شاهد افزایش داد. نسبت جذب آب به توانایی دانه‌های برنج برای جذب یا اتصال آب در حین فرآیند پخت برنج مربوط می‌شود. هرچه جذب آب بیشتر باشد، اندازه دانه‌های برنج پخته شده بزرگتر است ([Puspitasari et al., 2024](#)). نسبت جذب آب یکی از عوامل مهم برای ارزیابی تغییرات فیزیکوشیمیایی نیز می‌باشد، هر چه نسبت جذب آب بیشتر باشد، میزان ژلاتینه شدن آن نیز بیشتر است ([Saadat et al., 2019](#)). نمونه با سطوح بالاتر ژل پرشده امولسیونی با توجه به درصد بالای هیدروژل در ساختار برنج، اجازه جذب آسان‌تر آب را درماتریکس هیدروکلوفئید-نشاسته نسبت به سایر تیمارها فراهم آورد. برهمکنش های بین مولکولی عامل بسیار مهمی در افزایش جذب آب و ایجاد پیوندهای هیدروژنی است. ژلاتیناسیون نیز به افزایش جذب آب در مواد غذایی اشاره دارد که در آن عوامل ژل دهنده مانند انواع صمغ‌ها، در نتیجه تشکیل پیوند با مولکول‌های آب سبب ایجاد شبکه ژلی و ساختار متراکم پلیمری در محصول می‌شوند و سبب به دام انداختن مولکول-های آب در ساختار خود می‌شوند ([Zhang, Qin, Liang, Hu, & Luan, 2023](#)). محصولات غذایی در فرآیند اکستروژن، تحت فشار و حرارت قرار می‌گیرند که تشکیل شبکه هیدروژلی می‌تواند از تأثیراتش و ترک‌های برنج جلوگیری کند ([Gao et al., 2023](#)).

کارامیزاسیون را کاهش می‌دهند که این امر می‌تواند باعث شفافیت بالا در محصول نهایی شود (Naji- Tabasi *et al.*, 2023b). طبق نتایج بیشترین مقدار  $\Delta E$  در نمونه‌ها بعد از پخت و همچنین در نمونه‌های حاوی ۳۵ و ۴۰ درصد وزنی / وزنی ژل پرشده امولسیونی است. گزارش شده سطح اولیه رطوبت نمونه اکستروزن شده مقادیر اختلاف رنگ را افزایش خواهد. همچنین واکنش قهوه ای شدن نیز می‌تواند سبب افزایش اختلاف رنگ شود (Basilio-Atencio, Condezo- Hoyos, & Repo-Carrasco-Valencia, 2020). با توجه به سطح بالاتر رطوبت (با توجه به نتایج درصد رطوبت) میزان اختلاف رنگ در نمونه‌های حاوی سطح ۳۵ و ۴۰ درصد وزنی / وزنی ژل پرشده امولسیونی بیشتر است. همچنین حرارت پخت می‌تواند سبب ایجاد واکنش‌های قهوه‌ای شدن باشد.

معنadar آماری نداشت ( $p > 0.05$ ) در صورتی که با افزایش غلظت ژل پرشده امولسیونی مقدار این دو شاخص افزایش یافته هست. در همه نمونه‌های برنج اکستروزد شده بعد از پخت، بین مقادیر پارامتر  $b^*$  اختلاف معنadar آماری وجود داشت ( $p < 0.05$ ). یکی از مهمترین عوامل تأثیرگذار بر رنگ محصولات اکستروزد شده دمای مخزن اکستروزد می‌باشد که باعث ایجاد واکنش‌های مایلارد و کارامیزاسیون خواهد شد. با توجه به اینکه در این تحقیق از روش اکستروزد سرد استفاده شده، می‌توان عدم تفاوت رنگ بین محصولات و شفافیت بالای نمونه‌های برنج را به آن نسبت داد (Mitra, Pakki, Acharya, & Khanvilkar, 2023). از سوی دیگر گزارش شده هیدروکلوریک‌ها توزیع آب را در محصول افزایش و در مقابل واکنش‌های مایلارد و

جدول ۲- مقادیر پارامترهای اختلاف رنگ در نمونه‌های برنج اکستروزن شده با سطوح مختلف ژل پرشده امولسیونی (۳۰، ۳۵ و ۴۰ درصد وزنی / وزنی) قبل و بعد از پخت

Table 2- Color difference parameter values in extruded rice samples with different levels of emulsion-filled gel (30, 35, and 40% w/w) before and after cooking

قبل از پخت Before cooking				بعد از پخت After cooking				
	Control	%30	35%	40%	Control	30%	35%	40%
L*	59.56±0.02 <sup>b</sup>	65.18±0.00 <sup>a</sup>	68.19±0.00 <sup>a</sup>	69.19±0.00 <sup>a</sup>	52.95±2.48 <sup>c</sup>	62.95±2.48 <sup>b</sup>	65.18±4.40 <sup>ab</sup>	63.07±1.42 <sup>b</sup>
a*	-2.82±0.23 <sup>c</sup>	-2.39±1.56 <sup>c</sup>	-0.59±1.13 <sup>a</sup>	-1.17±1.22 <sup>b</sup>	0.80±0.02 <sup>b</sup>	1.17±0.01 <sup>a</sup>	1.17±0.04 <sup>a</sup>	1.07±0.10 <sup>a</sup>
b*	0.87±0.28 <sup>c</sup>	1.15±0.04 <sup>b</sup>	1.44±0.09 <sup>b</sup>	2.57±0.04 <sup>a</sup>	11.58±0.22 <sup>b</sup>	12.35±0.12 <sup>b</sup>	14.30±2.84 <sup>a</sup>	15.08±2.87 <sup>a</sup>

\* حروف نامشابه در هر ستون (a, b, c)، نشان‌دهنده اختلاف معنی‌دار بین تیمارها در سطح ( $p < 0.05$ ) می‌باشد.  
میانگین داده‌ها ± انحراف معیار هستند.

Different superscripts in each column represent a significant difference at  $P < 0.05$ . Data are means ± standard deviation.

آلزینات سبب تشدید جذب آب و افزایش خاصیت الاستیک نسبت به نمونه برنج اکستروزد شده کنترلی می‌گردد (Saadat *et al.*, 2019). علاوه بر این عوامل دیگری نیز بر انبساط برنج اکستروزد شده مؤثر است مانند میزان پروتئین و چربی. پروتئین به توزیع بهتر آب در طول فرآیند اکستروزن کمک می‌کند و انبساط را کاهش می‌دهد. چربی نیز به عنوان روان کننده عمل و از دانه‌های نشاسته در برابر ژلاتیناسیون محافظت می‌کند تا ژلاتینه شدن آنها و در نتیجه انبساط را کاهش دهد (Becker, Eifert, Soares Junior, Tavares, & Carvalho, 2014). در نتیجه می‌توان گفت با توجه ساختار تشکیل دهنده ژل پر شده امولسیون پیکرینگ حضور بیشتر این مواد در ساختار برنج اکستروزد شده نیز افزایش یافته است.

### نتایج آزمون بافت سنجی

### افزایش قد برنج

میزان افزایش قد نمونه‌های برنج اکستروزن شده تحت غلظت های ۳۵ و ۴۰ درصد وزنی / وزنی ژل پرشده امولسیونی مورد بررسی قرار گرفت. نتایج نشان داد (جدول ۱) مقایسه تیمارها با نمونه شاهد نشان داد نمونه‌های برنج ساختاریافته جدید از لحاظ افزایش قد تفاوت معنی داری با شاهد نداشتند ( $p > 0.05$ ). هیدروکلوریک‌ها در مرحله ژلاتیناسیون باعث کاهش چگالی ظاهری و کشسانی شده و در مقابل سبب افزایش حجم جانبی و قد دانه‌های برنج خواهند شد. آنها با ایجاد پیوند بین رشته‌های پلیمری می‌توانند سبب حفظ یکپارچگی ساختاری محصول اکستروزن در طول تورم شوند و در نتیجه اندازه نهایی دانه را بیشتر کنند (Awolu, Magoh, & Ojewumi, 2020). افزایش جذب آب درون ساختار برنج اکستروزد شده به نرم شدن ساختار آمیلوپکتین و بهبود خواص الاستیک برنج کمک کرده و سبب انبساط جانبی آن خواهد شد. حضور ماده جذب کننده رطوبت مانند صمغ

مانند بر روی رشته‌های برنج اکستروژن شده خواهد شد. این لایه تشکیل شده ضمن جلوگیری از رتروگراسیون نشاسته و حفظ رطوبت بالای محصول از چسبندگی نامطلوب دانه‌های برنج به یکدیگر جلوگیری می‌کند (Guan *et al.*, 2023). در نتیجه ژل پر شده امولسیونی اگرچه میزان خروج مواد از ساختار برنج را افزایش داد (با توجه به نتایج افت پخت) اما میزان اتصال و چسبندگی نامطلوب بین دانه‌های برنج را کاهش داده است.

ناجی و همکاران (Naji- Tabasi *et al.*, 2023a) در تحقیق مشابه به بررسی پارامترهای کیفی برنج اکستروژن شده حاوی هیدروژل‌های ژلان، زاتنان و آلتینات سدیم و مقایسه آن با برنج طبیعی پرداختند. نتایج آزمون بافت‌ستجی آن‌ها نتایج معنی‌داری بین نمونه‌های برنج حاوی هیدروژل و شاهد برنج از نظر سختی نشان داد. آن‌ها گزارش کردند در میزان آب بالاتر، ژلاتینه شدن نشاسته سریعتر است، که به نوعه خود بافت برنج سخت‌تری ایجاد می‌کند. دو صمغ ژلان و آلتینات سختی بافت نمونه‌های اکستروژن شده را نسبت به شاهد افزایش بیشتری دادند. افزایش درصد هیدروژل در ساختار برنج باعث افزایش سفتی برنج ساختاریافته شد (Naji- Tabasi *et al.*, 2023a).

### نتایج ارزیابی حسی

اثر غلظت‌های مختلف ژل پر شده امولسیونی (۴۰، ۳۵ و ۳۰ درصد وزنی/وزنی) بر خصوصیات حسی شامل رنگ، بو، طعم، سفتی، چسبندگی، قابلیت جویدن و پذیرش کلی برنج اکستروژن شده بررسی شد (شکل ۱). از نظر پارامتر رنگی در بین نمونه‌های مختلف اختلاف معنادار آماری وجود نداشت ( $p > 0.05$ ). اما از نظر پارامترهای طعم و قابلیت جویدن، کمترین امتیاز به نمونه کنترلی (نمونه بدون ژل پر شده امولسیونی) داده شد. در نهایت بالاترین پارامتر برای پذیرش کلی مربوط به نمونه ۴۰ درصد و بعد از آن به نمونه ۳۵ درصد ژل پر شده امولسیونی تعلق داشت. از سوی دیگر بهدلیل ساختار متراکم برنج اکستروژن در غلظت ۴۰ درصد وزنی/وزنی ژل پر شده امولسیونی، خروج مواد جامد در هنگام پخت در آن کمتر و در نتیجه از نظر پارامتر نامطلوب ساختارمحصول اکستروژن یافت، بافت متراکم‌تر و فشرده‌تری را نسبت به آرد برنج ایجاد می‌کند که سبب کاهش نفوذ مولکول‌های آب، انبساط کمتر و شفافیت کمتر (شاخن رنگ) در محصول می‌شود (Alaji, Hymavathi, Robert, & Deepika, 2018).

کربوهیدرات‌ها با ایجاد بافت دهانی مطلوب و اثر پوشانندگی بر طعم نامطلوبی که در فرآیند اکستروژن ممکن است ایجاد شود، میزان پذیرش کلی محصولات اکستروژن شده را افزایش خواهند داد. همچنین با تأثیر بر ساختار و

ویژگی‌های بافتی برنج اکستروژن شده با غلظت‌های مختلف ژل پر شده امولسیونی (۳۰، ۳۵ و ۴۰ درصد وزنی/وزنی) قبل و بعد از پخت در جدول ۳ نشان داده شده است. همانطور که نتایج نشان داد، قبل از پخت افزایش غلظت ژل پر شده امولسیون از ۳۰ تا ۴۰ درصد وزنی/وزنی، به طور معناداری سبب افزایش سختی برنج شد ( $p < 0.05$ ) به طوری که میزان سختی برنج خام از ۲۸۸/۷۰ تا ۴۳۷/۳۹ یافت. بیشترین میزان سختی برنج بعد از پخت نیز در غلظت ۴۰ درصد وزنی/وزنی ژل پر شده امولسیون و کمترین اختلاف معنادار آماری بین سطح کنترلی (۵/۰۶) مشاهده شد. همچنین اختلاف معنادار آماری بین سطح ۳۵ و ۴۰ درصد ژل پر شده امولسیون وجود نداشت ( $p > 0.05$ ). افزایش سختی در نمونه‌های برنج اکستروژن شده را می‌توان به استحکام شبکه ژلی نشاسته ارتباط داد که سبب افزایش تراکم در ساختار محصول خواهد شد. در نتیجه ترکیبات ژلی با منبع پلی ساکاریدی، با تأثیر بر ساختار گرانولی نشاسته و کمک به تشکیل شبکه ژلی منسجم، سبب افزایش Shao *et al.*, 2021؛ (Zheng *et al.*, 2020) نتایج حاصل از سایر تحقیقات نشان داد افزودن پکتین چغندرقد باعث افزایش سختی در برنج اکستروژن شده است. آن‌ها گزارش کردند ترکیب پلی ساکاریدی پکتین با تأثیر بر پیوندهای شبکه ژلی گلوتئین برنج، سبب ایجاد ساختار متراکم و یکنواخت شده که در نهایت سختی برنج را افزایش داده است (Wang, Yang, Li, Sha, & Chen, 2021) در برنج اکستروژن شده به میزان پیوندهای درون پلیمری ارتباط دارد و ایجاد پیوندهای جدید، شبکه ژلی متراکم و بافت برنج اکستروژن شده سخت‌تر خواهد بود.

نتایج حاصل از بررسی ویژگی‌های بافتی بعد از مرحله پخت برنج اکستروژن شده نشان داد، بین مقادیر چسبندگی بین غلظت‌های مختلف دانه‌های برنج اکستروژن شده با سطح ۴۰، ۳۵ و ۳۰ درصد وزنی/وزنی ژل پر شده امولسیونی اختلاف معنادار آماری وجود نداشت ( $p > 0.05$ ) و بالاترین میزان چسبندگی در نمونه کنترلی مشاهده شد.

پارامتر چسبندگی نقش مهمی در تعیین نرمی و لطافت رشته‌های برنج اکستروژن شده دارد اما چسبندگی بسیار زیاد می‌تواند نشان‌دهنده این باشد که مواد شسته شده از ساختار دانه‌های برنج<sup>۱</sup> در طول پخت تمایل دارند به یکدیگر بچسبند که در نهایت بر طعم نهایی آنها تأثیر گذار خواهد داشت (Castellanos-Gallo *et al.*, 2019). از سوی دیگر طی فرآیند پخت، مولکول‌های نشاسته تمایل دارند با یکدیگر اتصال برقرار کنند و در نتیجه کاهش دما بعد از پخت، شروع به انساط و ژلاتیناسیون می‌کنند. پلی‌ساکارید با ایجاد پیوند با نشاسته میزان اتصالات بین گرانول‌ها را کاهش داده و سبب تشکیل یک لایه ژل

احساس دهانی نشاسته برنج اکستروژن در مقایسه با نمونه بدون تیمار شدن. براساس نتایج بدست آمده بیشترین امتیاز حسی مربوط به نمونه با سطح ۴۰ درصد ژل پر شده امولسیونی بود.

ایجاد بافت یکنواخت قابلیت جویدن را بهبود خواهد بخشید (Qi *et al.*, 2023). ناجی و همکاران (Naji- Tabasi *et al.*, 2023b) گزارش داد که که صفحه‌های ژلان، آلتینات سدیم و زانتان باعث بهبود

جدول ۳- ویژگی‌های بافتی نمونه‌های برنج حاوی مقادیر مختلف ژل پر شده امولسیونی (با بستر ژلی آلتینات سدیم (غلظت ۴ درصد وزنی/وزنی) و نسبت ۱۵ درصد حجمی/حجمی امولسیون پیکرینگ در بستر ژلی پر شده امولسیونی)

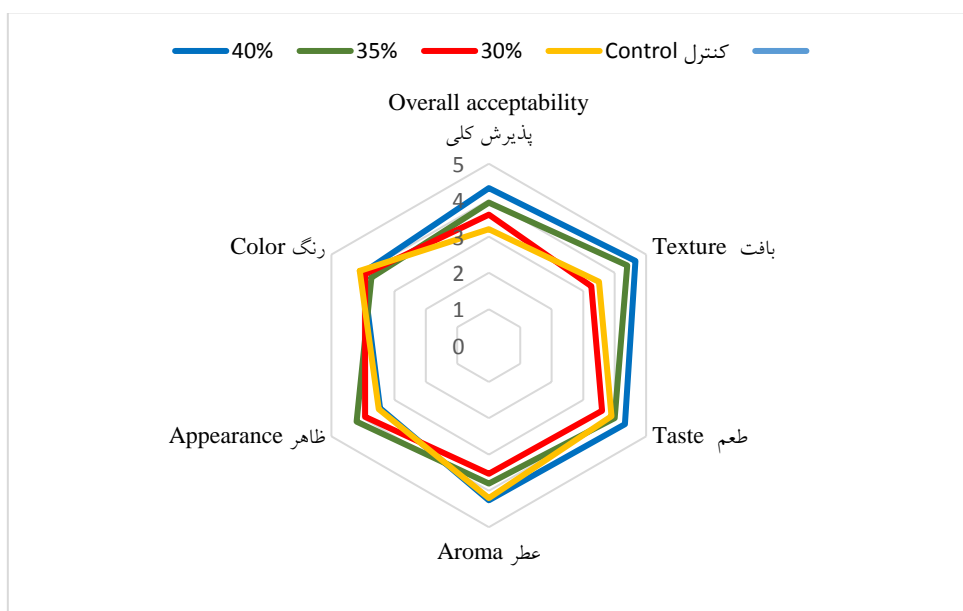
**Table 3- Textural properties of rice samples containing different concentration of emulsion-filled gel (with sodium alginate gel matrix (4% w/w) and a 15% volume/volume ratio of Pickering emulsion in the emulsion-filled gel matrix)**

	قبل از پخت		بعد از پخت	
	Emulsion-filled gel (%)	Hardness (g)	Hardness (g)	چسبندگی (g.s)
40	437.39±31.35 <sup>a</sup>	9.52±0.19 <sup>a</sup>	0.55±0.01 <sup>b</sup>	
35	367.80±17.93 <sup>b</sup>	8.50±1.00 <sup>a</sup>	0.55±0.05 <sup>b</sup>	
30	288.70±26.58 <sup>a</sup>	6.98±0.74 <sup>b</sup>	0.55±0.19 <sup>b</sup>	
Control	256.70±12.32 <sup>a</sup>	5.06±0.23 <sup>b</sup>	0.63±0.19 <sup>a</sup>	

\* میانگین ± انحراف استاندارد.

\*\* حروف نامشابه در هر سهون (a, b, c)، نشان‌دهنده اختلاف معنی‌دار بین تیمارها در بر اساس آزمون دانکن (p<0.05) می‌باشد.

Different superscripts in each column represent a significant difference at P < 0.05. Data are means ± standard deviation.



(Meng, Sun, MU, & Garcia-Vaquero, 2024)

شکل ۱- ارزیابی حسی نمونه‌های برنج اکسترود شده حاوی مقادیر مختلف ژل پر شده امولسیونی

(بستر ژلی با غلظت ۴ درصد وزنی-وزنی سدیم آلتینات و امولسیون پیکرینگ ۱۵ درصد حجمی/حجمی حامل بتاکاروتن با غلظت ۰.۱ درصد)

**Fig. 1. Sensory evaluation of extruded rice samples containing different amounts of emulsion-filled gel (Gel matrix with 4% w/w sodium alginate concentration and 15% v/v Pickering emulsion carrier of beta-carotene with 0.1% concentration)**

سبب کاهش تحرکات قطرات روغن و در نهایت بافزایش پایداری سامانه امولسیون پیکرینگ می‌شوند (Lv, Zhang, Chen, & Yin, 2023; Zhang et al., 2022).

به طور کلی، افزایش بار سطحی و کاهش اندازه ذرات پیکرینگ امولسیون به حفظ پایداری آن در برابر عوامل محیطی و در نتیجه حفظ ترکیب مغذی کمک می‌کند (Meng et al., 2024). صمغ شاهی یک پلی ساکارید با بار منفی هست که در محدوده زیادی از دما می‌تواند پایدار باشد و به عنوان یک ترکیب امولسیفایبری در پایداری سامانه امولسیونی به کار برده شود (Davtalab et al., 2024). از سوی دیگر، تشکیل پیوند بین گروه‌های کربوکسیل آلثینات سدیم، به عنوان یک پلی ساکارید با بار منفی، با نانوذرات پروتئین آب پنیر-صمغ شاهی دافعه‌ی الکترواستاتیک بین قطرات و بار سطحی سامانه را افزایش می‌دهد. مکانیسم دافعه‌ی الکترواستاتیک در نهایت سبب جلوگیری از افزایش اندازه قطرات امولسیون می‌شود (Cai, Zhang, & Xie, 2024; Xin et al., 2023). در نتیجه، می‌توان گفت ژل پرشده امولسیونی توانسته است ترکیب مغذی بتاکاروتون را در برنج اکسترود شده طی پخت و دوره نگهداری حفظ کند. در مقابل در نمونه بدون ژل پرشده امولسیونی، به دلیل افزایش سطح تماس بتاکاروتون با اکسیدازین، اکسیدازیون آن سریع‌تر رخ داد و مقاومت آن در برابر حرارت بسیار کمتر بود.

## پایداری بتاکاروتون در برنج اکسترود شده مخلوط آرد کینوا- برنج در طی دوره نگهداری و پخت

پس از بررسی نتایج آزمون‌های قبلی، نمونه برنج اکسترود شده با ۴۰ درصد ژل پر شده امولسیونی به عنوان نمونه منتخب مورد بررسی و از نظر پایداری بتاکاروتون با نمونه برنجی که حاوی بتاکاروتون بدون پوشش بود، طی دوره نگهداری و همچنین پس از پخت مورد مقایسه قرار گرفت. نتایج نشان داد میزان پایداری بتاکاروتون در نمونه حاوی ژل پر شده امولسیونی در مقایسه با نمونه‌ای که بتاکاروتون به طور مستقیم به برنج اضافه شده است، به طور معناداری پایداری بیشتری دارد (جدول ۴).

سیستم‌های انکپسولاسیون در سامانه‌های غذایی، عموماً با هدف حفظ پایداری ترکیبات مغذی در طی فرآیندهای حرارتی یا دوره نگهداری، طراحی می‌شوند (Wei et al., 2022). تشکیل شبکه ژلی آلثینات سدیم، به عنوان یک پوشش محافظ، قطرات امولسیون را در خود محصور و از اکسیدازیون و تجزیه بتاکاروتون در اثر عوامل محیطی مانند نور، گرمایش و اکسیژن جلوگیری می‌کند (Geng et al., 2022). بستر ژلی آلثینات سدیم با ایجاد پیوندهای غیرکوالانت با ذرات جامد موجود در سطح قطرات روغن (نانوذرات پروتئین آب پنیر-صمغ شاهی)، سبب ایجاد شبکه ژلی قوی می‌شود. افزایش این پیوندهای عرضی

جدول ۴- بررسی پایداری بتاکاروتون در برنج اکسترود شده مخلوط آرد کینوا- برنج در طی دوره نگهداری و بعد از پخت  
Table 4- Investigation of  $\beta$ -carotene stability in extruded rice mixed with quinoa-rice flour during storage and after cooking

نمونه حاوی بتاکاروتون Sample containing beta-carotene	پس از پخت Storage stability (1 month)	طی دوره نگهداری After cooking
برنج اکسترود شده با ژل پرشده امولسیونی (۴۰٪ درصد) Extruded rice filled with emulsion gel (40%)	91.10 ± 0.43 <sup>a</sup>	87.32 ± 2.03 <sup>a</sup>
برنج اکسترود شده بدون ژل پرشده امولسیونی Extruded rice without Emulsion-gel	86.07 ± 0.32 <sup>b</sup>	47.21 ± 0.26 <sup>b</sup>

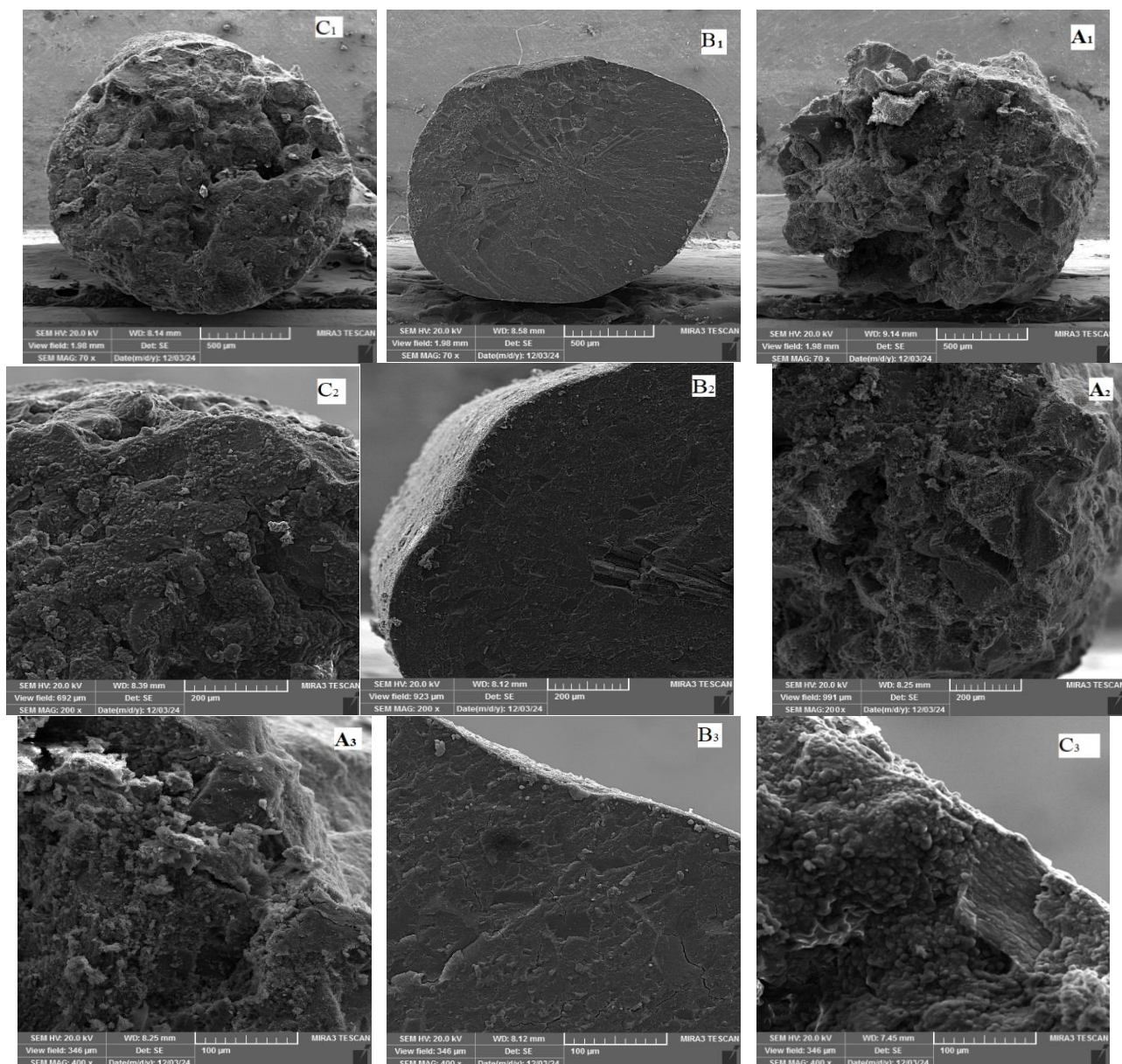
میانگین داده ها  $\pm$  انحراف معیار هستند. حروف نامشابه در هر سه تون (a, b, c) نشان‌دهنده اختلاف معنی‌دار بین تیمارها در سطح ( $p < 0.05$ ) می‌باشد.

Different superscripts in each column represent a significant difference at  $P < 0.05$ . Data are means  $\pm$  standard deviation.

متعاقباً در مقایسه با برنج طبیعی، ساختار بلوری نیز کاهش یابد. از سوی دیگر با افزودن یک ترکیب ماکرومولکولی که بتواند پراکنده‌گی دانه‌های نشاسته کوچک را تسهیل می‌کند، باعث می‌شود دانه‌های نشاسته در طول فرآیند اکستروژن همگن‌تر و منسجم‌تر شوند (Xia Liu et al., 2018). در نتیجه می‌توان گفت حضور آرد کینوا به عنوان ترکیب جدید سبب کاهش برهمکنش‌های نشاسته‌ای آرد برنج شده است و در مقایسه با نمونه طبیعی سختی کمتری دارد. در مقابل حضورهیدروژل و تشکیل شبکه، سبب شده بافت برنج اکسترود شده منسجم‌تر گردد.

## تصاویر میکروسکوپی الکترونیکی روبشی (SEM)

نتایج SEM نشان داد که برنج طبیعی در مقایسه با برنج اکسترود شده مخلوط آرد کینوا- برنج دارای پوسته‌ای بسیار سخت‌تر بود و در مقایسه بین دو نمونه برنج اکسترود شده، نمونه برنج بدون حضور هیدروژل ساختاری نسبتاً سست مشاهده شد. با افزودن ژل پرشده امولسیونی، ساختار برنج اکسترود شده پوسته سفت‌تری از خود نشان داد و ساختار داخلی آن منسجم‌تر شد (شکل ۲(A1-C1)). افزودن فیبر گیاهی در ساختار برنج اکسترود شده، باعث می‌شود ساختار بلوری دانه‌های نشاسته برنج با یکدیگر برهمکنش کمتری داشته باشد و



شکل ۲- تصاویر میکروسکوپ الکترونی روشنی از نمونه های برنج اکسترود شده بدون ژل پرشده امولسیونی (A)، نمونه برنج هاشمی (B) و برنج اکسترود شده حاوی ۴۰ درصد ژل پر شده امولسیونی (C)

Fig. 2. SEM images of extruded rice without emulsion-filled gel (A), Hashemi rice grain(B) and extruded rice with 40% emulsion filled gel (C)

امولسیونی (۳۰۰ درصد) بیشتر از برنج هاشمی (۲۰۱ درصد) بود که می توان به افزایش جذب آب بیشتر توسط ژل نسبت داد (جدول ۵). از نظر میزان افت پخت، تفاوت معنی دار آماری بین نمونه های برنج اکسترود شده در مقایسه با برنج هاشمی (۹/۲۱ درصد) وجود داشت ( $p<0.05$ ). ویژگی افزایش قد نمونه های برنج هاشمی پس از پخت مشابه دانه های برنج اکسترود شده بود.

مقایسه نمونه منتخب با نمونه برنج واریته هاشمی برای توسعه برنج اکسترود شده حاوی ژل پرشده امولسیونی به عنوان جایگزینی برای برنج طبیعی، نمونه انتخاب شده (۴۰ درصد ژل پرشده امولسیونی) انتخاب و با برنج هاشمی مقایسه شدند. با توجه به نتایج جدول ۵ از نظر ویژگی های پخت، نمونه های برنج مخلوط زمان پخت کمتری داشتند که به دلیل تخریب ساختار نشاسته است (جدول ۵). نسبت جذب آب در برنج مخلوط حاوی ۴۰ درصد ژل پر شده

#### جدول ۵- ویژگی های پخت و رنگی برنج منتخب و برنج هاشمی

**Table 5- Cooking and color properties of optimum extruded rice and Hashemi rice**

برنج هاشمی	برنج حاوی ۴۰ درصد ژل پر شده امولسیونی	Rice properties
Hashemi rice	Emulsion-filled gel-rice% 40	
15.00 ± 2.49 <sup>a</sup>	9.66 ± 0.03 <sup>b</sup>	Cooking time (min) زمان پخت
201.50 ± 8.59 <sup>b</sup>	300 ± 0.23 <sup>a</sup>	Water absorption ratio (%) درصد جذب آب
9.21 ± 1.16 <sup>a</sup>	7.55 ± 0.02 <sup>b</sup>	Cooking loss (%) افت پخت
80.43 ± 2.23 <sup>a</sup>	86.26 ± 0.17 <sup>a</sup>	Lateral expansion (%) افراش، قد

\* حروف نامشایه در هر ردیف، نشان دهنده اختلاف معنی دار بین تیمارها در سطح  $(0/05 < p)$  می‌باشد.  
مانگ: داده‌ها  $\neq$  انجاف: معلو هستند.

Different superscripts in each row represent a significant difference at  $P < 0.05$ . Data are means  $\pm$  standard deviation.

طبيعي برج سبب افزایش جذب آب و کاهش سختی آن شده است.  
.(Naji- Tabasi et al., 2023a)

نتایج نشان داد که تفاوت معنی‌داری بین ویژگی‌های حسی نمونه‌های بهینه برنج کامپوزیت اکسترود شده و برنج هاشمی وجود ندارد (**شکل ۳**). نتایج نشان داد که برنج اکسترود شده حاوی ۴۰ درصد ژل پرشده امولسیونی می‌تواند جایگزین مناسبی برای برنج هاشمی باشد. ژل‌های امولسیونی دارای خواص بافتی و رئولوژیکی خاصی هستند که درک حسی بیشتری را فراهم می‌کنند. پوشش‌دهی بتاکاروتن با ژل‌های امولسیونی می‌تواند کاربردهای بتاکاروتن را در صنعت غذا گسترش دهد (**Geng et al., 2022**). یک ژل امولسیونی با ساختار پیچیده می‌تواند به گونه‌ای طراحی شود که به آرامی و یا به سرعت توسط آنزیم‌های گوارشی تجزیه شود. این نوع امولسیون می‌تواند برای تحويل هدفمند مواد مغذی به بدن مفید باشد (**Golding & Wooster, 2010**).

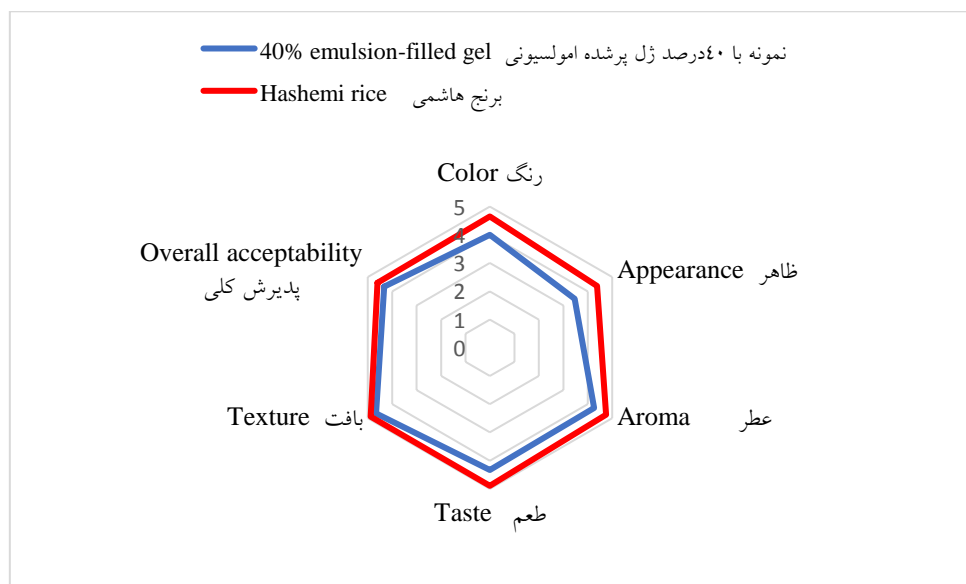
برنج هاشمی سختی بیشتری از نمونه‌های برنج اکسترود شده داشت ([جدول ۶](#)). برنج کامپوزیت اکسترود شده حاوی ۴۰٪ ردرصد ژل پرشده امولسیونی دارای مقدار سختی کمتری نسبت به برنج هاشمی (g/g) بود. از سوی دیگر تفاوت معنادار آماری بین میزان چسبندگی (۱۴/۶۵) بعد از پخت در برنج هاشمی (g.s.) با نمونه برنج کامپوزیت اکسترود شده وجود نداشت ( $p < 0.05$ ). مهمترین عامل تأثیرگذار بر بافت محصول و میزان سختی آن، جذب آب می‌باشد. گزارش شده در اسنک تهیه شده از آرد کینوا، با افزایش جذب آب تحت تیمارهای مختلف، میزان سختی آن کاهش یافته است. همچنین شرایط پخت با تبخیر آب از محصول خواص بافتی را تحت تأثیر قرار می‌دهد و میزان سختی محصول را کاهش می‌دهد ([Muñoz-Pabon, Roa-Acosta, et al., 2022](#)). از ([Hoyos-Concha, Bravo-Gómez, & Ortiz-Gómez, 2022](#)) سوی دیگر حضور هیدروژل در محصول اکسترود شده نسبت به نمونه

جدول ۶- ویژگی بافتی برنج کامپوزیت اکسپرسود شده بهینه با برنج واریته هاشمی قبل و بعد از پخت

**Table 6- Textural properties of optimum extruded rice and Hashemi rice before and after cooking**

نوع نمونه برنج Rice sample	قبل از پخت Before cooking		بعد از پخت After cooking	
	سختی Hardness (g)		سختی Hardness (g)	چسبندگی Adhesiveness (g.s)
حاوی ۴۰ درصد ژل پر شده امولسیونی 40% emulsion-filled gel	437.39±31.35 <sup>b</sup>		9.52±0.19 <sup>b</sup>	0.55±0.01 <sup>a</sup>
برنج هاشمی Hashemi rice		633.89±22.45 <sup>a</sup>	14.65±1.30 <sup>a</sup>	0.36±0.44 <sup>a</sup>

میانگین داده ها ± انحراف میکار هستند. \* حروف نامشابه در هر ستون (a, b, c)، نشان دهنده اختلاف معنی دار بین تیمارها در سطح  $P < 0.05$  می باشد.



شکل ۳- بررسی خواص حسی برنج اکسترود شده مخلوط آرد کینوا-برنج با نمونه برنجی طبیعی واریته هاشمی

Fig. 3. Sensory properties evaluation of extruded rice mixed with quinoa-rice flour compared to natural rice (Hashemi variety)

کینوا نیز می‌باشد. مقایسه نمونه برنج بهینه اکسترود شده مخلوط آرد کینوا-برنج با برنج طبیعی نشان داد، نمونه اکسترود شده به دلیل نزدیک بود خواص حسی به نمونه طبیعی می‌تواند جایگرین مناسبی برای برنج طبیعی باشد.

### تعارض منافع

نویسندها اعلام می‌کنند هیچ تعارض منافعی ندارند.

### میزان مشارکت نویسندها

مریم داوطلب: انجام آزمایشات، تحقیق و برسی، مدیریت داده، نوشتن پیش‌نویس اصلی، سارا ناجی طبی: مدیریت پروژه، ناظرت، نوشتن- بررسی و ویرایش، مصطفی شهیدی نوqابی: ناظرت، نوشتن- بررسی و ویرایش.

### منابع تأمین مالی

این مقاله توسط مؤسسه پژوهشی علوم و صنایع غذایی حمایت مالی شده است که بدینوسیله از آنها قدردانی می‌شود.

### نتیجه‌گیری

در این پژوهش بهمنظور بهبود خصوصیات فیزیکومکانیکی برنج کامپوزیت اکسترود شده مخلوط آرد کینوا-برنج، از ژل پرشده امولسیون پیکربندگ که حاوی ترکیب مغذی بتاکاروتن بود، استفاده شد. نتایج نشان داد با افزایش غلظت ژل پرشده امولسیونی (۳۰، ۳۵، ۴۰ درصد وزنی-وزنی) میزان رطوبت، خاکستر، افزایش قد و زمان پخت برنج ساختار یافته افزایش و در مقایسه با نمونه کنترلی بیشتر بود. با افزایش ژل پرشده امولسیونی کاهش چسبندگی و افزایش سختی در نمونه‌های برنج اکسترود شده مشاهده شد به طوری که بیشترین چسبندگی و کتمرین سختی مربوط به نمونه کنترلی بود. افزایش غلظت ژل پرشده امولسیونی تا سطح ۴۰ درصد وزنی-وزنی، میزان روشنایی دانه‌های برنج را نسبت به نمونه کنترلی افزایش داده است. از لحاظ بیژگی‌های حسی سطح ۴۰ درصد ژل پرشده امولسیونی بیشترین امتیاز را دارد. با توجه به نتایج این تحقیق، افزایش غلظت ژل پرشده امولسیونی سبب بهبود خواص فیزیکومکانیکی محصول برنج شد. بنابراین می‌توان محصول برنج اکسترود شده مخلوط آرد کینوا-برنج با سطح ۴۰ درصد ژل پرشده امولسیونی را به عنوان محصولی بیشنهاد داد که ضمن غنی‌شدن با ترکیب مغذی بتاکاروتن، دارای اثرات سلامتی بخش آرد

### References

- Alajil, O., Hymavathi, T., Robert, P., & Deepika, L. (2018). Effect of flour composition and temperature on physico-chemical and sensory properties of quinoa based extrudates. *Journal of Pharmaceutical Research International*, 24(5), 1-13. <https://doi.org/10.9734/JPRI/2018/45346>

2. Awolu, O.O., Magoh, A.O., & Ojewumi, M.E. (2020). Development and evaluation of extruded ready-to-eat snack from optimized rice, kersting's groundnut and lemon pomace composite flours. *Journal of Food Science and Technology*, 57, 86-95. <https://doi.org/10.1007/s13197-019-04033-9>
3. Basilio-Atencio, J., Condezo-Hoyos, L., & Repo-Carrasco-Valencia, R. (2020). Effect of extrusion cooking on the physical-chemical properties of whole kiwicha (*Amaranthus caudatus* L.) flour variety centenario: Process optimization. *LWT*, 128, 109426. <https://doi.org/10.1016/j.lwt.2020.109426>
4. Becker, F.S., Eifert, E.D.C., Soares Junior, M.S., Tavares, J.-A.S., & Carvalho, A.V. (2014). Physical and functional evaluation of extruded flours obtained from different rice genotypes. *Ciência e Agrotecnologia*, 38, 367-374. <https://doi.org/10.1590/S1413-70542014000400007>
5. Bouasla, A., & Wójtowicz, A. (2021). Gluten-free rice instant pasta: Effect of extrusion-cooking parameters on selected quality attributes and microstructure. *Processes*, 9(4), 693. <https://doi.org/10.3390/pr9040693>
6. Buyukkestelli, H.I., & El, S.N. (2019). Development and characterization of double emulsion to encapsulate iron. *Journal of Food Engineering*, 263, 446-453. <https://doi.org/10.1016/j.jfoodeng.2019.07.026>
7. Cai, J., Zhang, D., & Xie, F. (2024). The role of alginate in starch nanocrystals-stabilized Pickering emulsions: From physical stability and microstructure to rheology behavior. *Food Chemistry*, 431, 137017. <https://doi.org/10.1016/j.foodchem.2023.137017>
8. Castellanos-Gallo, L., Galicia-García, T., Estrada-Moreno, I., Mendoza-Duarte, M., Márquez-Meléndez, R., Portillo-Arroyo, B., & Sanchez-Aldana, D. (2019). Development of an expanded snack of rice starch enriched with amaranth by extrusion process. *Molecules*, 24(13), 2430. <https://doi.org/10.3390/molecules24132430>
9. Committee, A.A.O.C.C.A.M. (2000). *Approved methods of the American association of cereal chemists*.
10. Davtalab, M., Naji-Tabasi, S., Shahidi-Noghabi, M., Martins, A.J., Bourbon, A.I., & Cerqueira, M.A. (2024). Pickering emulsion stabilized by different concentrations of whey protein-cress seed gum nanoparticles. *Foods*, 13(23), 3777. <https://doi.org/10.3390/foods13233777>
11. Farjam, T., & Madadlou, A. (2019). An overview on preparation of emulsion-filled gels and emulsion particulate gels. *Trends in Food Science & Technology*. <https://doi.org/10.1016/j.tifs.2019.02.043>
12. Gao, L., Xu, Z., Zhang, R., Qin, Y., Ji, N., Wang, Y., & Sun, Q. (2023). Effects of erythritol on rheological properties of rice flour and structural characteristics of extruded dried rice noodles with rapid rehydration behaviors. *Food Hydrocolloids*, 109007. <https://doi.org/10.1016/j.foodhyd.2023.109007>
13. Geng, M., Wang, Z., Qin, L., Taha, A., Du, L., Xu, X., & Hu, H. (2022). Effect of ultrasound and coagulant types on properties of β-carotene bulk emulsion gels stabilized by soy protein. *Food Hydrocolloids*, 123, 107146. <https://doi.org/10.1016/j.foodhyd.2021.107146>
14. Godoy, R. (2015). Quinoa and rice co-products gluten free-cereals: Physical, chemical, microbiological and sensory qualities.
15. Golding, M., & Wooster, T.J. (2010). The influence of emulsion structure and stability on lipid digestion. *Current Opinion in Colloid & Interface Science*, 15(1-2), 90-101. <https://doi.org/10.1016/j.cocis.2009.11.006>
16. Guan, C., Liu, J., Gan, S., Xiong, G., Qiao, F., Mo, W., & Lin, Q. (2023). Effects of soluble soybean polysaccharide on cooking and eating quality of dry rice noodles under single-and twin-screw extrusions. *LWT*, 187, 115352. <https://doi.org/10.1016/j.lwt.2023.115352>
17. Hooper, S.D., Bassett, A., Wiesinger, J.A., Glahn, R.P., & Cichy, K.A. (2023). Extrusion and drying temperatures enhance sensory profile and iron bioavailability of dry bean pasta. *Food Chemistry Advances*, 3, 100422. <https://doi.org/10.1016/j.focha.2023.100422>
18. Iqbal, S., Chen, X.D., Kirk, T.V., & Huang, H. (2020). Controlling the rheological properties of W1/O/W2 multiple emulsions using osmotic swelling: Impact of WPI-pectin gelation in the internal and external aqueous phases. *Colloids and Surfaces B: Biointerfaces*, 185, 110629. <https://doi.org/10.1016/j.colsurfb.2019.110629>
19. Kraithong, S., & Rawdkuen, S. (2020). Effects of food hydrocolloids on quality attributes of extruded red Jasmine rice noodle. *PeerJ*, 8, e10235. <https://doi.org/10.7717/peerj.10235>
20. Kraithong, S., Theppawong, A., Lee, S., & Huang, R. (2023). Understanding of hydrocolloid functions for enhancing the physicochemical features of rice flour and noodles. *Food Hydrocolloids*, 108821. <https://doi.org/10.1016/j.foodhyd.2023.108821>
21. Lim, H.-P., Ho, K.-W., Singh, C.K.S., Ooi, C.-W., Tey, B.-T., & Chan, E.-S. (2020). Pickering emulsion hydrogel as a promising food delivery system: Synergistic effects of chitosan Pickering emulsifier and alginate matrix on hydrogel stability and emulsion delivery. *Food Hydrocolloids*, 105659. <https://doi.org/10.1016/j.foodhyd.2020.105659>
22. Liu, X., Xie, F., Zhou, J., He, J., Din, Z.-u., Cheng, S., & Cai, J. (2023). High internal phase Pickering emulsion stabilized by zein-tannic acid-sodium alginate complexes: β-Carotene loading and 3D printing. *Food Hydrocolloids*, 142, 108762. <https://doi.org/10.1016/j.foodhyd.2023.108762>

23. Liu, X., Zhao, J., Zhang, X., Li, Y., Zhao, J., Li, T., & Qiao, L. (2018). Enrichment of soybean dietary fiber and protein fortified rice grain by dry flour extrusion cooking: The physicochemical, pasting, taste, palatability, cooking and starch digestibility properties. *RSC Advances*, 8(47), 26682-26690. <https://doi.org/10.1039/C8RA01781F>
24. Lv, D., Zhang, P., Chen, F., & Yin, L. (2022). Effects of emulsion concentration on the physicochemical properties of wheat bran arabinoxylan-soy protein isolate emulsion-filled gels used as  $\beta$ -carotene carriers. *Lwt*, 153, 112498. <https://doi.org/10.1016/j.lwt.2021.112498>
25. Meng, W., Sun, H., MU, T.-H., & Garcia-Vaquero, M. (2024). Exploring pickering emulsions stabilized by chitosan and multiple seaweed polyphenols for an efficient protection and delivery of  $\beta$ -Carotene. *ACS Food Science & Technology*, 4(5), 1287-1300. <https://doi.org/10.1021/acsfoodscitech.4c00178>
26. Miazek, K., Beton, K., Śliwińska, A., & Brożek-Płuska, B. (2022). The effect of  $\beta$ -carotene, tocopherols and ascorbic acid as anti-oxidant molecules on human and animal in vitro/in vivo studies: A review of research design and analytical techniques used. *Biomolecules*, 12(8), 1087. <https://doi.org/10.3390/biom12081087>
27. Mirzaei, M., Movahhed, S., Asadollahzadeh, M.J., & Ahmadi Chenarbon, H. (2021). Effect of carboxymethylcellulose and locust bean gums on some of physicochemical, mechanical, and textural properties of extruded rice. *Journal of Texture Studies*, 52(1), 91-100. <https://doi.org/10.1111/jtxs.12563>
28. Mitra, P., Pakki, S.M., Acharya, B., & Khanvilkar, S. (2023). Optimization of single screw extrusion processing variables and soy and rice flour blend formulations based on physical properties of extrudates. *Current Chinese Science*, 3(4), 263-274. <https://doi.org/10.2174/2210298103666230203121700>
29. Muñoz-Pabón, K.S., Roa-Acosta, D.F., Hoyos-Concha, J.L., Bravo-Gómez, J.E., & Ortiz-Gómez, V. (2022). Quinoa snack production at an industrial level: effect of extrusion and baking on digestibility, bioactive, rheological, and physical properties. *Foods*, 11(21), 3383. <https://doi.org/10.3390/foods11213383>
30. Naji- Tabasi, S., Shahidi- Noghabi, M., Modiri Dovom, A., & Davtalab, M. (2023a). The use of hydrogel structures in production of extruded rice and investigation of its qualitative characteristics. *Food Science Nutrient*, 11(10), 5873-5881. <https://doi.org/10.1002/fsn3.3466>
31. Naji- Tabasi, S., Shahidi- Noghabi, M., Modiri Dovom, A., & Davtalab, M. (2023b). The use of hydrogel structures in production of extruded rice and investigation of its qualitative characteristics. *Food Science & Nutrition*. <https://doi.org/10.1002/fsn3.3466>
32. Naji, S., Razavi, S.M., & Karazhiyan, H. (2012). Effect of thermal treatments on functional properties of cress seed (*Lepidium sativum*) and xanthan gums: A comparative study. *Food Hydrocolloids*, 28(1), 75-81. <https://doi.org/10.1016/j.foodhyd.2011.11.012>
33. Nourbehesht, N., Shekarchizadeh, H., & Soltanizadeh, N. (2018). Investigation of stability, consistency, and oil oxidation of emulsion filled gel prepared by inulin and rice bran oil using ultrasonic radiation. *Ultrasonics Sonochemistry*, 42, 585-593. <https://doi.org/10.1016/j.ultsonch.2017.12.029>
34. Puspitasari, D.A., Pudjianto, K., Darussalam, A., Wicaksana, G.H., & Hastuti, H.P. (2024). The effect of sodium tripolyphosphate and guar gum on physical characteristics of analog rice from Gaplek flour. *AgriTECH*, 44(2), 153-160. <https://doi.org/10.22146/agritech.78300>
35. Putri, R., Rohmah, K., Lestari, I., Bahlawan, Z., Astuti, W., Kusumaningrum, M., & Purwanti, D. (2022). *Physical characteristics and nutritional value of cassava analogue rice with fortified protein tempeh and the addition of xanthan gum for healthy dieters*. Paper presented at the IOP Conference Series: Earth and Environmental Science. <https://doi.org/10.1088/1755-1315/969/1/012036>
36. Qadir, N., & Wani, I.A. (2023). Functional properties, antioxidant activity and in-vitro digestibility characteristics of brown and polished rice flours of Indian temperate region. *Grain & Oil Science and Technology*, 6(1), 43-57. <https://doi.org/10.1016/j.gaost.2022.12.001>
37. Qi, W., Ma, C.M., Xing, W.J., Fan, J., Yang, Y., Yang, C.H., & Zhang, N. (2023). Effects of extrusion on physical properties of glutinous rice and its application in the improvement of quality characteristics of glutinous rice products. *Journal of Food Science*. <https://doi.org/10.1111/1750-3841.16683>
38. Radu, G.L., Litescu, S.C., Albu, C., Teodor, E., & Truica, G. (2012). Beta-carotene and lycopene determination in new enriched bakery products by HPLC-DAD method. *Romanian Biotechnological Letters*, 17(1), 7006.
39. Ranjbar, S., Basiri, A., Elhamirad, A.H., Sharifi, A., & Chenarbon, H.A. (2018). Effect of hydrocolloids on physicochemical, sensory and textural properties of reconstructed rice grain by extrusion cooking technology. *Journal of Food Measurement and Characterization*, 12(3), 1622-1632. <https://doi.org/10.1007/s11694-018-9777-5>
40. Rehman, A., Ahmad, T., Aadil, R.M., Spotti, M.J., Bakry, AM., Khan, I.M., & Tong, Q. (2019). Pectin polymers as wall materials for the nano-encapsulation of bioactive compounds. *Trends in Food Science & Technology*. <https://doi.org/10.1016/j.tifs.2019.05.015>

41. Rostamabadi, H., Falsafi, S.R., & Jafari, S.M. (2019). Nanoencapsulation of carotenoids within lipid-based nanocarriers. *Journal of Controlled Release*. <https://doi.org/10.1016/j.jconrel.2019.02.005>
42. Saadat, S., Movahhed, S., & Ahmadi Chenarbon, H. (2019). Effect of guar and arabic gums on qualitative properties of extruded rice. *Journal of Food Process Engineering*, 42(2), e12959. <https://doi.org/10.1111/jfpe.12959>
43. Semenova, M. (2017). Protein-polysaccharide associative interactions in the design of tailor-made colloidal particles. *Current Opinion in Colloid & Interface Science*, 28, 15-21. <https://doi.org/10.1016/j.cocis.2016.12.003>
44. Seo, Y., Moon, Y., & Kweon, M. (2021). Effect of purple-colored wheat bran addition on quality and antioxidant property of bread and optimization of bread-making conditions. *Applied Sciences*, 11(9), 4034. <https://doi.org/10.3390/app11094034>
45. Shao, Z., Han, J., Wang, J., Sun, Y., Li, X., & Liang, J. (2021). Process optimization, digestibility and antioxidant activity of extruded rice with Agaricus bisporus. *LWT*, 152, 112350. <https://doi.org/10.1016/j.lwt.2021.112350>
46. Sumardiono, S., Kusumayanti, H., Prakoso, N.I.A., Paundrianagari, F.P., & Cahyono, H. (2021). Influence of composite flour constituents and extrusion temperature in the production of analog rice. *Food Sci Nutr*, 9(8), 4385-4393. <https://doi.org/10.1002/fsn3.2411>
47. Sun, Z., Lyu, Q., Zhuang, K., Chen, L., Wang, G., Wang, Y., & Ding, W. (2023). Impact of different preparation methods on the properties of brown rice flour and the cooking stability of brown rice noodles and the underlying mechanism: Microstructure, starch-protein distribution, moisture migration. *LWT*, 181, 114697. <https://doi.org/10.1016/j.lwt.2023.114697>
48. Taheri, A., & Jafari, S.M. (2019). Nanostructures of gums for encapsulation of food ingredients. In *Biopolymer Nanostructures for Food Encapsulation Purposes* (pp. 521-578): Elsevier. <https://doi.org/10.1016/B978-0-12-815663-6.00018-5>
49. Tangjaidee, P., Xiang, J., Yin, H., Wen, X., & Quek, S.Y. (2019). Selenium, fibre, and protein enrichment of rice product: extrusion variables and product properties. *Food quality and Safety*, 3(1), 40-51. <https://doi.org/10.1093/fqsafe/fyy028>
50. Torres, O.L., Lema, M., & Galeano, Y.V. (2021). Effect of using quinoa flour (*Chenopodium quinoa* Willd.) on the physicochemical characteristics of an extruded pasta. *International Journal of Food Science*, 2021(1), 8813354. <https://doi.org/10.1155/2021/8813354>
51. Wang, X., Zeng, M., Yu, Y.-H., Wang, H., Mannan, M.S., & Cheng, Z. (2017). Thermosensitive ZrP-PNIPAM Pickering emulsifier and the controlled-release behavior. *ACS Applied Materials & Interfaces*, 9(8), 7852-7858. <https://doi.org/10.1021/acsmami.6b16690>
52. Wang, Y.-R., Yang, Q., Li-Sha, Y.-J., & Chen, H.-Q. (2021). Structural, gelation properties and microstructure of rice glutelin/sugar beet pectin composite gels: Effects of ionic strengths. *Food Chemistry*, 346, 128956. <https://doi.org/10.1016/j.foodchem.2020.128956>
53. Waterhouse, G.I., & Sun-Waterhouse, D. (2019). Encapsulation systems containing multi-nutrients/bioactives: From molecular scale to industrial scale. <https://doi.org/10.1016/B978-0-08-100596-5.21511-4>
54. Wei, Y., Wang, C., Liu, X., Mackie, A., Zhang, M., Dai, L., & Gao, Y. (2022). Co-encapsulation of curcumin and β-carotene in Pickering emulsions stabilized by complex nanoparticles: Effects of microfluidization and thermal treatment. *Food Hydrocolloids*, 122, 107064. <https://doi.org/10.1016/j.foodhyd.2021.107064>
55. Xia, W., Lin, Y., Wang, F., Liu, Y., & Liu, R.H. (2024). Preparation and physicochemical properties: a new extruded rice using cassava starch and broken rice flour. *Frontiers in Sustainable Food Systems*, 8, 1383012. <https://doi.org/10.3389/fsufs.2024.1383012>
56. Xiong, G., Jia, L., Luo, L., Ding, Y., Lin, Q., & Liu, C. (2023). Improvement in texture and cooking quality of black rice (*Oryza sativa* L.) using different pretreatments. *Journal of Cereal Science*, 109, 103611. <https://doi.org/10.1016/j.jcs.2022.103611>
57. Yan, M., & Jiang, S. (2023). Recent trends in functional characteristics and degradation methods of alginate. In BIO Web of Conferences (Vol. 61, p. 01015). EDP Sciences. <https://doi.org/10.1051/bioconf/20236101015>
58. Zhang, H., Tan, S., Gan, H., Zhang, H., Xia, N., Jiang, L., & Zhang, X. (2023). Investigation of the formation mechanism and β-carotene encapsulation stability of emulsion gels based on egg yolk granules and sodium alginate. *Food Chemistry*, 400, 134032. <https://doi.org/10.1016/j.foodchem.2022.134032>
59. Zhang, Y., Qin, Y., Liang, Q., Hu, Y., & Luan, G. (2023). Breaking the temperature limitation of zein-rice starch dough by microwave pre-gelatinization: Morphological, structural and rheological properties of the dough. *Food Research International*, 173, 113465. <https://doi.org/10.1016/j.foodres.2023.113465>
60. Zhao, Y., Dang, X., Du, H., Wang, D., Zhang, J., Liu, R., & Zhong, Q. (2024). Understanding the impact of extrusion treatment on cereals: Insights from alterations in starch physicochemical properties and in vitro digestion kinetics. *Animals*, 14(21), 3144. <https://doi.org/10.3390/ani14213144>

61. Zheng, Y., Tian, J., Ogawa, Y., Kong, X., Chen, S., Liu, D., & Ye, X. (2020). Physicochemical properties and in vitro digestion of extruded rice with grape seed proanthocyanidins. *Journal of Cereal Science*, 95, 103064. <https://doi.org/10.1016/j.jcs.2020.103064>
62. Zhu, F. (2019). Starch based Pickering emulsions: Fabrication, properties, and applications. *Trends in Food Science & Technology*. <https://doi.org/10.1016/j.tifs.2019.01.012>